



REBOUND 1940

Library of the Museum  
OF  
COMPARATIVE ZOOLOGY,

AT HARVARD COLLEGE, CAMBRIDGE, MASS.

Founded by private subscription, in 1861.

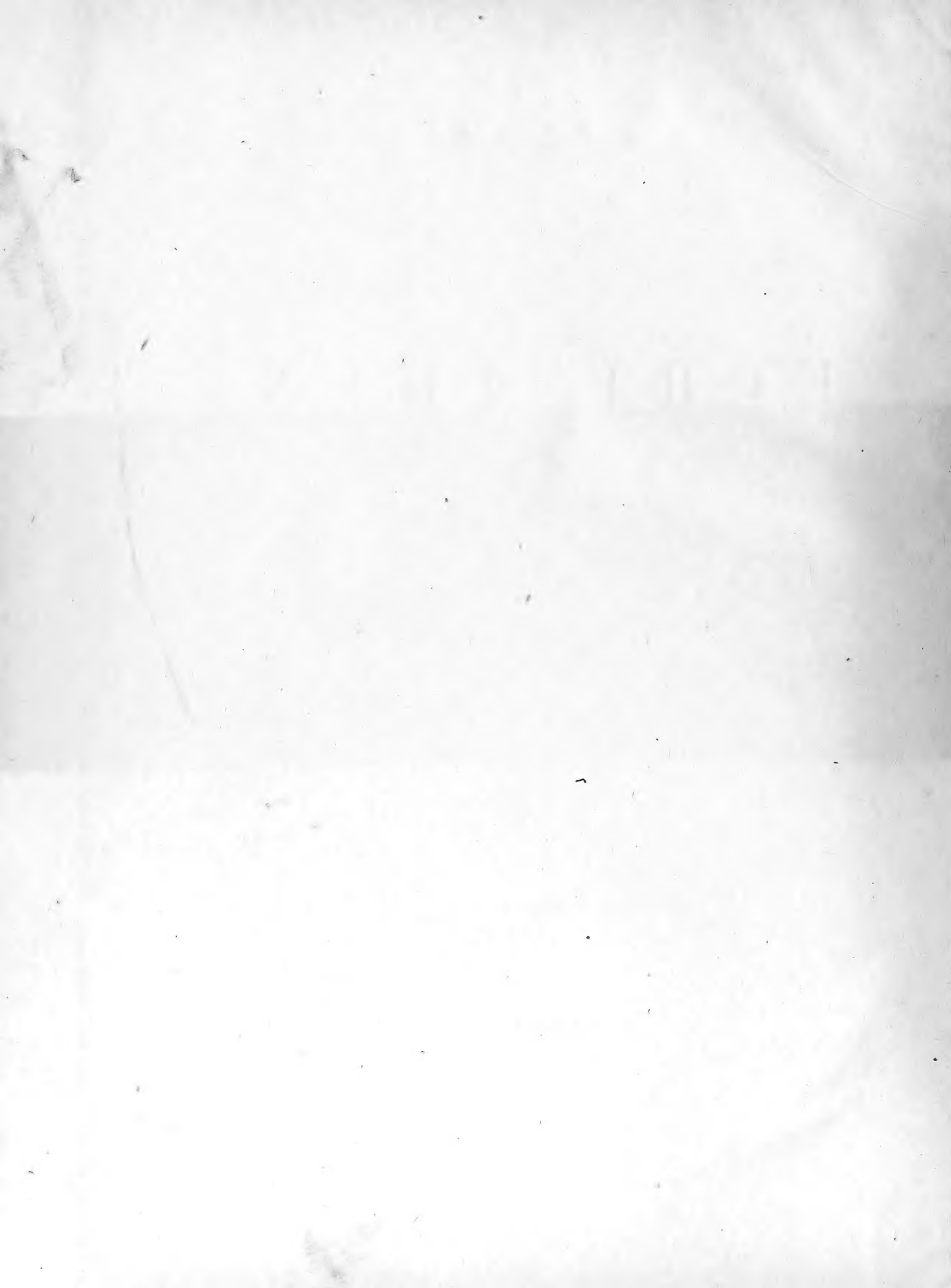
~~~~~  
Deposited by ALEX. AGASSIZ.

No. 2351









**ATLAS**

<sup>1</sup> <sup>2</sup> <sup>3</sup>  
Quenstedt, Echinodermen. 3

~~9~~ Heft.





Bd. 3

**A T L A S**

ZU DEN

**E C H I N I D E N**

VON

**FRIEDRICH AUGUST QUENSTEDT,**

PROFESSOR DER GEOLOGIE UND MINERALOGIE IN TÜBINGEN.

3

---

**LEIPZIG,**

FUES'S VERLAG (R. REISLAND).

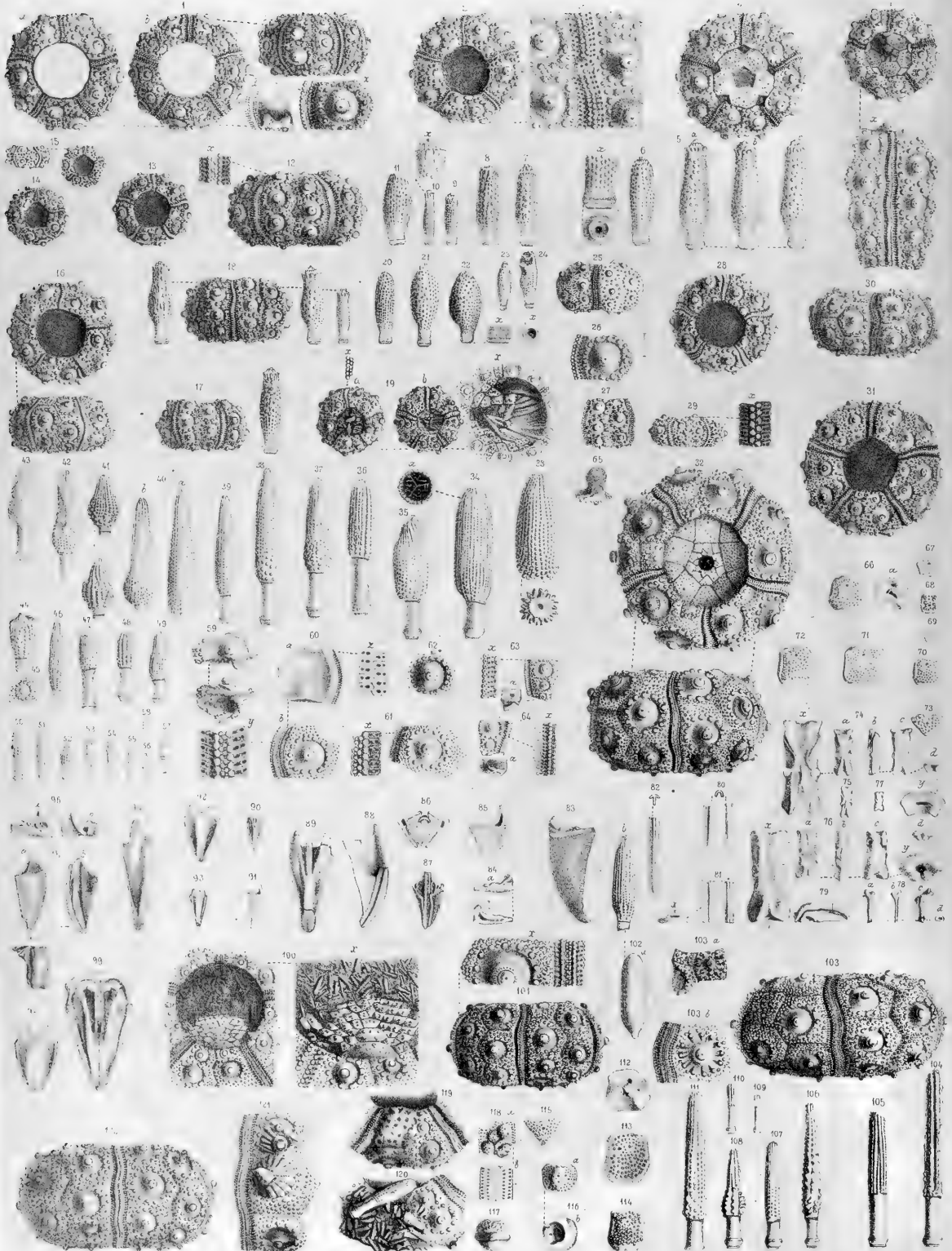
Sm 1874.

FRANKLIN

FRIEDRICH ADOLF

5312  
5-10



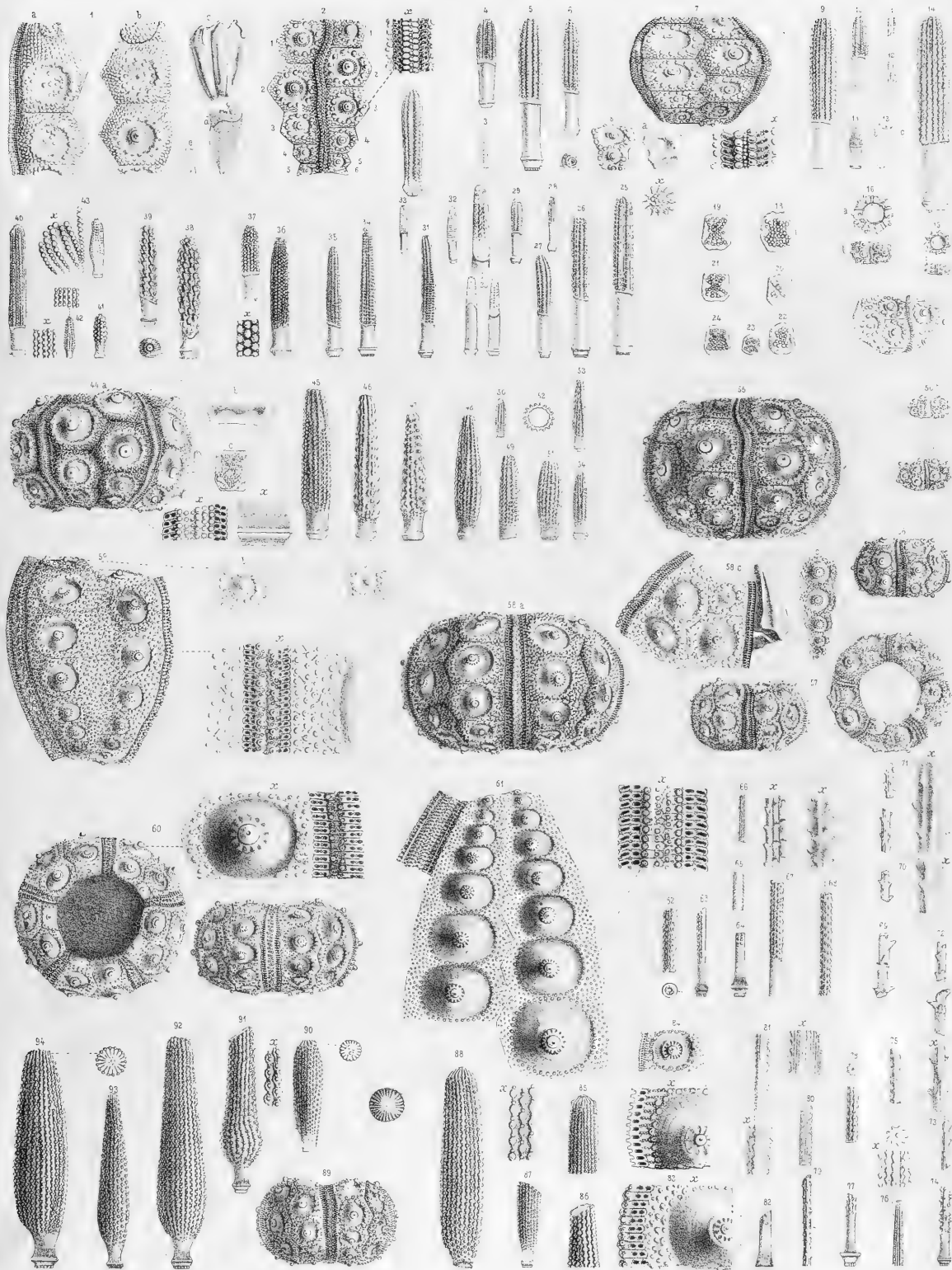


## Erklärung tab. 62.

- Fig. 1 Cidaris elegans pag. 41, weisser Jura  $\epsilon$ , Nollhaus,  $x$  vergrössert.  
 — 2 desgleichen pag. 41, daher, krankes Ambulacrum,  $x$  vergrössert.  
 — 3 desgleichen pag. 42, daher, mit Eiertafeln.  
 — 4 desgleichen pag. 42, weisser Jura  $\epsilon$ , Niederstotzingen mit Afterscheibe;  $x$  abgewickelt und doppelt vergrössert.  
 — 5—11 desgleichen pag. 42, Nollhaus, Stacheln.  
 — 12 C. elegans var. pag. 43, daher.  
 — 13. 14 desgleichen pag. 44, daher, jung.  
 — 15 C. cf. elegans pag. 44, Steinweiler, weisser Jura  $\epsilon$ .  
 — 16 C. elegans pag. 44, Coralrag, Bayreuth.  
 — 17 desgleichen pag. 44, Oberfellendorf.  
 — 18 desgleichen pag. 44, weisser Jura  $\epsilon$ , Oerlinger Thal.  
 — 19 C. cf. elegans pag. 45, daher;  $x$  vergrösserte Mundplatten.  
 — 20—24 C. propinquus pag. 46, weisser Jura  $\alpha$ , Böllert.  
 — 25—27 C. cf. propinquus pag. 47, daher, 26 vergrössert.  
 — 28 C. quadritesselatus pag. 47, weisser Jura  $\epsilon$ , Nattheim.  
 — 29 desgleichen pag. 47, weisser Jura  $\epsilon$ , Nollhaus.  
 — 30 C. coronatus  $\gamma$  pag. 58, weisser Jura  $\gamma$ , Spaichingen.  
 — 31 C. coronatus pag. 58, verkieselt, Franken.  
 — 32 desgleichen pag. 53, weisser Jura  $\gamma$ , Hossingen.  
 — 33—44 C. coronatus pag. 50, Stacheln.  
 — 45 desgleichen pag. 50, von einer Blindassel.  
 — 46—58 desgleichen pag. 50, verschiedene kleine Stacheln.  
 — 59 desgleichen pag. 51, kranke Assel, Böllert.  
 — 60 desgleichen pag. 51, Böllert, oberste Assel von innen  $a$  und aussen  $b$ .  
 — 61 C. cf. coronatus pag. 52, daher.  
 — 62 C. cf. marginatus pag. 52, daher.  
 — 63 C. coronatus  $\gamma$  pag. 52, Böllert,  $a$  Ohr von innen.  
 — 64 C. moniliferus pag. 52, daher.  
 — 65 Cidaris pag. 52, verkümmertes Ohr von innen, Böllert.  
 — 66—72 Cidaris pag. 52, Genitalplatten, weisser Jura  $\alpha$ , Böllert.  
 — 73 Cidaris pag. 53, Augenplatte, daher.  
 — 74. 75 Cidaris pag. 53, Balken, Böllert, secunda species.  
 — 76. 77 Cidaris pag. 54, Balken, Böllert, prima species;  $y$  vergrössertes Innenende.  
 — 78 Cidaris pag. 54, Gabelstück des Halbzirkelförmigen Knochens, Böllert.  
 — 79 Echinus esculentus pag. 55, Venedig, Bügelstücke von der Seite.  
 — 80 Cidaris pag. 55, Zahn, weisser Jura  $\alpha$ , Ulm; I spec.  
 — 81 Cidaride pag. 55, Zahn, weisser Jura  $\alpha$ , Böllert; II spec.  
 — 82 Echinus esculentus pag. 55, Zahn.  
 — 83 Cidaride pag. 55, Kinnlade, Gosbacher Steige; II spec.  
 — 84 desgleichen pag. 55, Ergänzungsstück, Böllert; II spec.  
 — 85 desgleichen pag. 56, Kinnlade, daher, Oberende aussen; II spec.  
 — 86 desgleichen pag. 56, daher, Querschnitt.  
 — 87—91 desgleichen pag. 56, daher, Kiefer, II spec.  
 — 92—95 Cidaris pag. 56, daher, Kiefer, I spec.  
 — 96 C. pag. 56, daher, Ergänzungsstück, I spec.  
 — 97 C. pag. 57, daher, Balken- Ergänzungsstück- Kinnlade von oben.  
 — 98 C. pag. 57, Lochen, prima altera.  
 — 99 Echinus esculentus pag. 57, Venedig, Kinnlade.  
 — 100 Cidaris coronatus  $\gamma$  pag. 57, Mundhaut,  $x$  vergrössert.  
 — 101 C. coronatus pag. 59, Bohnerz, Veringendorf.  
 — 102 desgleichen pag. 59, daher, abgeriebener Stachel.  
 — 103 C. moniliferus pag. 59, weisser Jura  $\epsilon$ , Nattheim,  $a$  Nollhaus.  
 — 104. 105 desgleichen pag. 60, weisser Jura  $\epsilon$ , Nattheim.  
 — 106—111 desgleichen pag. 60, Oerlinger Thal.  
 — 112—114 C. moniliferus pag. 60, Eiertafeln, Ulm.  
 — 115 desgleichen pag. 60, Augentafel, daher.  
 — 116—118 desgleichen pag. 60, Missbildungen von Asseln.  
 — 119 C. coronatus pag. 61, krank, weisser Jura  $\delta$ , Thiergarten.  
 — 120. 121 C. cf. coronostriatus pag. 61, weisser Jura  $\epsilon$ , Ulm, Keilstacheln.  
 — 122 Cidaris moniliferus pag. 61, weisser Jura  $\epsilon$ , Niederstotzingen.

## Erklärung tab. 63.

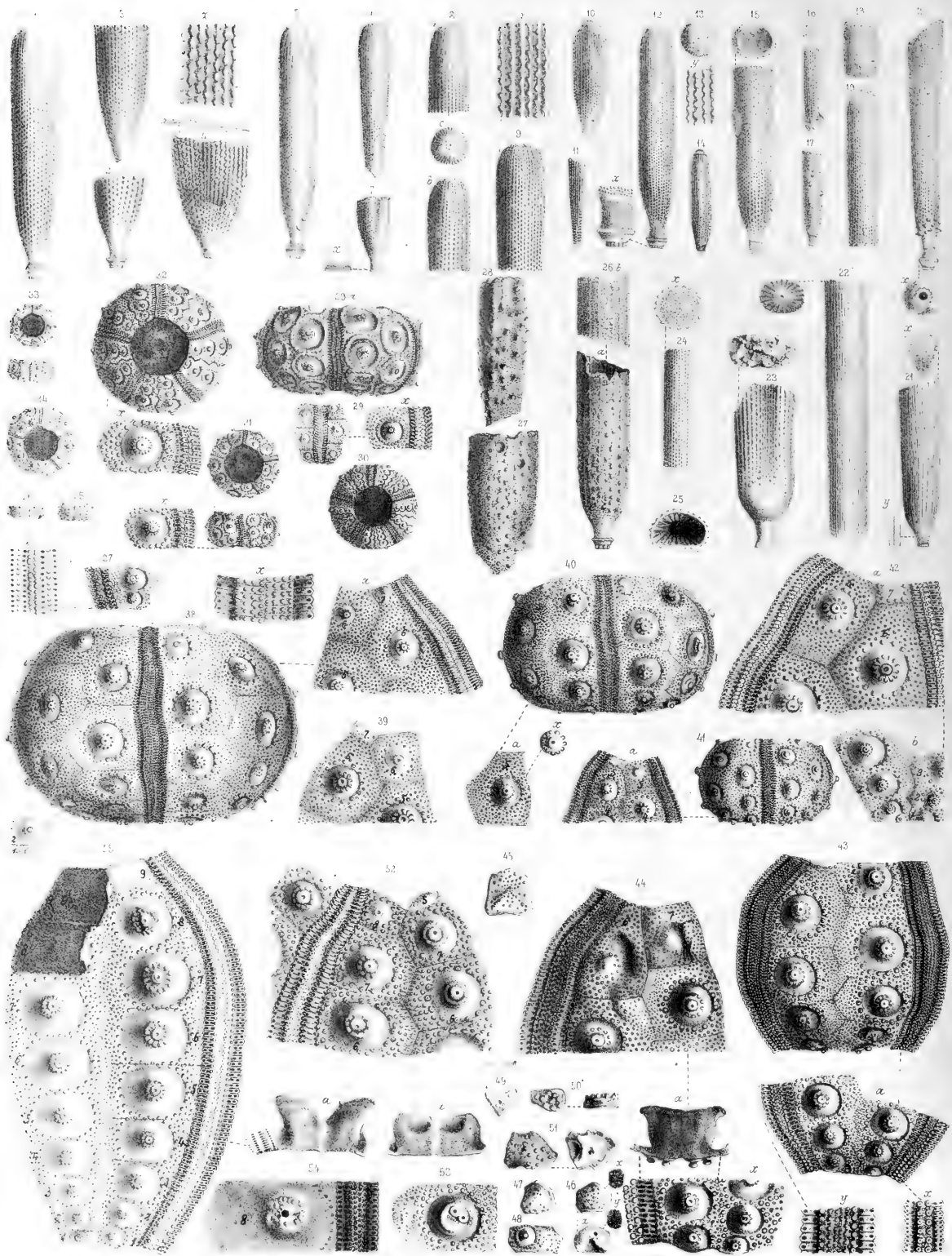
- Fig. 1 Cidaris tuberculosa pag. 62, weisser Jura  $\epsilon$ , Kienlesberg.  
 — 2 Cidaris perlatus pag. 63, weisser Jura  $\epsilon$ , Nattheim;  $x$  vergrößert.  
 — 3—6 Cidarid cf. perlatus pag. 65, daher.  
 — 7 Cidarid perlatus pag. 63, Oolith  $\epsilon$ , Schnaitheim.  
 — 8 desgleichen pag. 64, daher,  $a$  halbes Ohr von Innen.  
 — 9—14 desgleichen pag. 63, daher, Stacheln.  
 — 15 desgleichen pag. 64, Nattheim, Brut.  
 — 16. 17 desgleichen pag. 64, Oolith  $\epsilon$ , Schnaitheim.  
 — 18 desgleichen pag. 65, daher, Eiertafel.  
 — 19—24 Cidarid Xscriptus pag. 65, weisser Jura  $\epsilon$ , Oerlinger Thal, Eiertafeln.  
 — 25—29 Cidarid curvatus pag. 65, desgleichen, daher.  
 — 30 Cidarid corono-laevis pag. 66, desgleichen, daher.  
 — 31—33 C. corono-punctus pag. 66, weisser Jura  $\epsilon$ , Ulm.  
 — 34. 35 C. corono-strictus pag. 66, weisser Jura  $\epsilon$ , Nattheim.  
 — 36. 37 C. corono-pusula pag. 67, weisser Jura  $\epsilon$ , Nattheim.  
 — 38. 39 C. corono-mamma pag. 67, daher.  
 — 40 C. corono-filum pag. 67, daher.  
 — 41 C. elegans nodus pag. 43, daher.  
 — 42 C. elegans punctus pag. 43, daher.  
 — 43 C. elegans turba pag. 43, daher.  
 — 44 C. marginatus pag. 69, weisser Jura  $\epsilon$ , Nattheim;  $b$  innere Ohren,  $c$  Eiertafel,  $x$  Am-  
 bulacren vergrößert.  
 — 45—54 desgleichen pag. 68, Stacheln, daher.  
 — 55 C. marginatus globosus pag. 70, daher.  
 — 56 C. marginatus elegans pag. 70, daher.  
 — 56.  $a. b$  C. coronatus pag. 70, daher, jung.  
 — 57 Cidarid Blumenbachii pag. 71, weisser Jura  $\epsilon$ , Nollhaus.  
 — 58 desgleichen pag. 72, daher.  
 — 59 C. Blumenbachii Danubicus pag. 72, Ulm, weisser Jura  $\epsilon$ .  
 — 60 Cidarid Suevicus pag. 73, Bopfingen, mittlerer weisser Jura.  
 — 61 Cidarid Suevicus pag. 74, weisser Jura  $\gamma$ , Salmendingen.  
 — 62—67 Cidarid histricoides pag. 75, weisser Jura  $\epsilon$ , Nollhaus.  
 — 68 C. histricoides perplexus pag. 76, daher.  
 — 69—71 Cidarid spinosus  $\epsilon$  pag. 76, Nollhaus, weisser Jura  $\epsilon$ .  
 — 72 C. spinosus  $\alpha$  pag. 76, Lochen, weisser Jura  $\alpha$ .  
 — 73. 74 desgleichen pag. 76, Böllert, weisser Jura  $\alpha$ .  
 — 75 C. rarefactus pag. 77, Lochen, weisser Jura  $\alpha$ .  
 — 76—82 C. subhisticoides pag. 77, Böllert, weisser Jura  $\alpha$ .  
 — 83 Cidarid cf. Blumenbachii pag. 77, Böllert, weisser Jura  $\alpha$ .  
 — 84 C. Suevicus pag. 77, daher.  
 — 85—88 Cidarid florigemma pag. 79, Terrain à Chailles, Kl. Lützel.  
 — 89 desgleichen pag. 80, Körper, daher.  
 — 90 Cidarid cf. florigemma pag. 81, Sirchingen, weisser Jura  $\epsilon$ .  
 — 91—94 Cidarid florigemma pag. 80, Oxfordthou, Vaches noires.









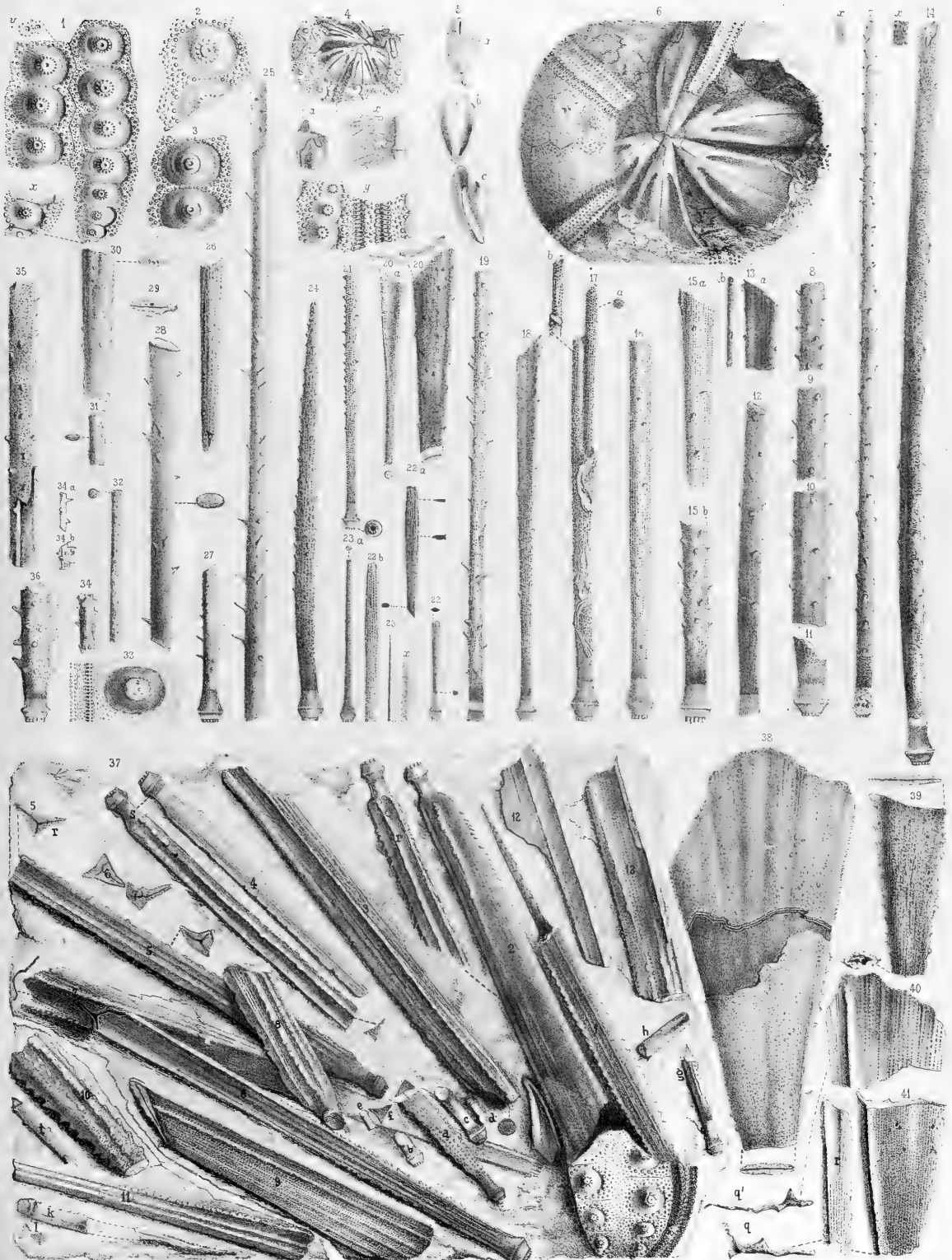


## Erklärung tab. 64.

- Fig. 1—3 Cidaris filigranus pag. 81, Böllert, weisser Jura  $\alpha$ .  
— 4 desgleichen pag. 82, daher, verdrückt;  $x$  vergrössert.  
— 5 desgleichen pag. 81, daher, zwischen den dunkeln Wärczen Schlamm.  
— 6 desgleichen pag. 82, unterster weisser Jura  $\alpha$ , Birmensdorf.  
— 7 desgleichen pag. 82, Böllert, von einer Blindassel;  $x$  vergrösserte Gelenkfläche.  
— 8 desgleichen pag. 82, Böllert:  $a$  Hinter-,  $b$  Vorder-,  $c$  Oberseite.  
— 9 desgleichen pag. 83, daher, dickster;  $x$  vergrössert.  
— 10. 11 desgleichen pag. 82, daher.  
— 12. 13 Cidaris cylindrogranus pag. 83, weisser Jura  $\alpha$ , Böllert;  $x y$  vergrössert.  
— 14. 15 desgleichen pag. 83, daher, ohne Gelenkkopf.  
— 16—19 desgleichen pag. 83, daher.  
— 20 Cidaris cf. cylindrogranus pag. 83, weisser Jura  $\gamma$ , Weissenstein;  $x$  vergrösserte kranke Gelenkfläche.  
— 21—24 Cidaris cylindricus pag. 84, weisser Jura  $\alpha$ , Lochen;  $x$  vergrössert.  
— 25 Cidaris mitratus pag. 85, weisser Jura  $\varepsilon$ , Nattheim, von oben.  
— 26 desgleichen pag. 85, daher,  $a$  und  $b$  verschiedene Seiten.  
— 27. 28 desgleichen pag. 85, daher, geknotete Abänderungen.  
— 29.  $a$  Cidaris vallatus pag. 86, weisser Jura  $\gamma$ , Weissenstein.  
— 29 desgleichen pag. 86, Bosler.  
— 30 Cidaris cf. laeviusculus pag. 87, weisser Jura  $\beta \gamma$ , Aalen.  
— 31—33 Cidaris laeviusculus pag. 86, unterer weisser Jura  $\alpha$ , Birmensdorf.  
— 34—36 Cidaris cf. laeviusculus pag. 87, weisser Jura  $\varepsilon$ , Nollhaus.  
— 37 Cidaris Blumenbachii pag. 88, weisser Jura  $\varepsilon$ , Nollhaus.  
— 38 Cidaris nobilis var. I pag. 89, weisser Jura  $\alpha$ , Lauffen:  $a$  vom After-,  $b$  vom Mundkreise.  
— 39 desgleichen pag. 89, Kieseldelta, Spaichingen, von der Afterseite.  
— 40 desgleichen pag. 90, colonisirtes weisses  $\beta$ , Nusplingen:  $a$  fünfte Assel am Afterrande;  $x$  vergrössertes Höckerchen.  
— 41 desgleichen pag. 90, unterer weisser Jura,  $a$  vom Afterrande.  
— 42 C. nobilis var. II pag. 90, Kieseldelta, Nusplingen:  $a$  After-,  $b$  Mundseite.  
— 43 C. nobilis var. III pag. 91, weisser Jura:  $a$  Mundrand;  $x y$  vergrössert.  
— 44 desgleichen pag. 92, colonisirtes  $\alpha$ , krank:  $a$  Ohr auf der Innenseite;  $x$  vergrösserter Mundrand.  
— 45 Cidaris nobilis pag. 94, weisser Jura  $\varepsilon$ , Oerlinger Thal, Eiertafel.  
— 46 Cidaris cf. nobilis pag. 94, weisser Jura  $\alpha$ , Böllert;  $x y$  vergrössert,  $a$  Unterseite.  
— 47. 48 desgleichen pag. 95, daher.  
— 49 Cidaris cf. nobilis pag. 95, weisser Jura  $\varepsilon$ , Ulm, Augentafel.  
— 50. 51 Eiertafeln pag. 95, Oerlinger Thal, weisser Jura  $\varepsilon$ .  
— 52 Cidaris nobilis var. IV pag. 92, weisser Jura  $\varepsilon$ , Nattheim;  $a$  Ohr.  
— 53 Cidaris nobilis pag. 94, kranke Assel, weisser Jura  $\varepsilon$ , Ulm.  
— 54 Cidaris maximus pag. 94, weisser Jura  $\delta$ ; 8te Assel.  
— 55 Cidaris maximus pag. 93, Kieseldelta, Muggendorf;  $a$  Ohr.
-

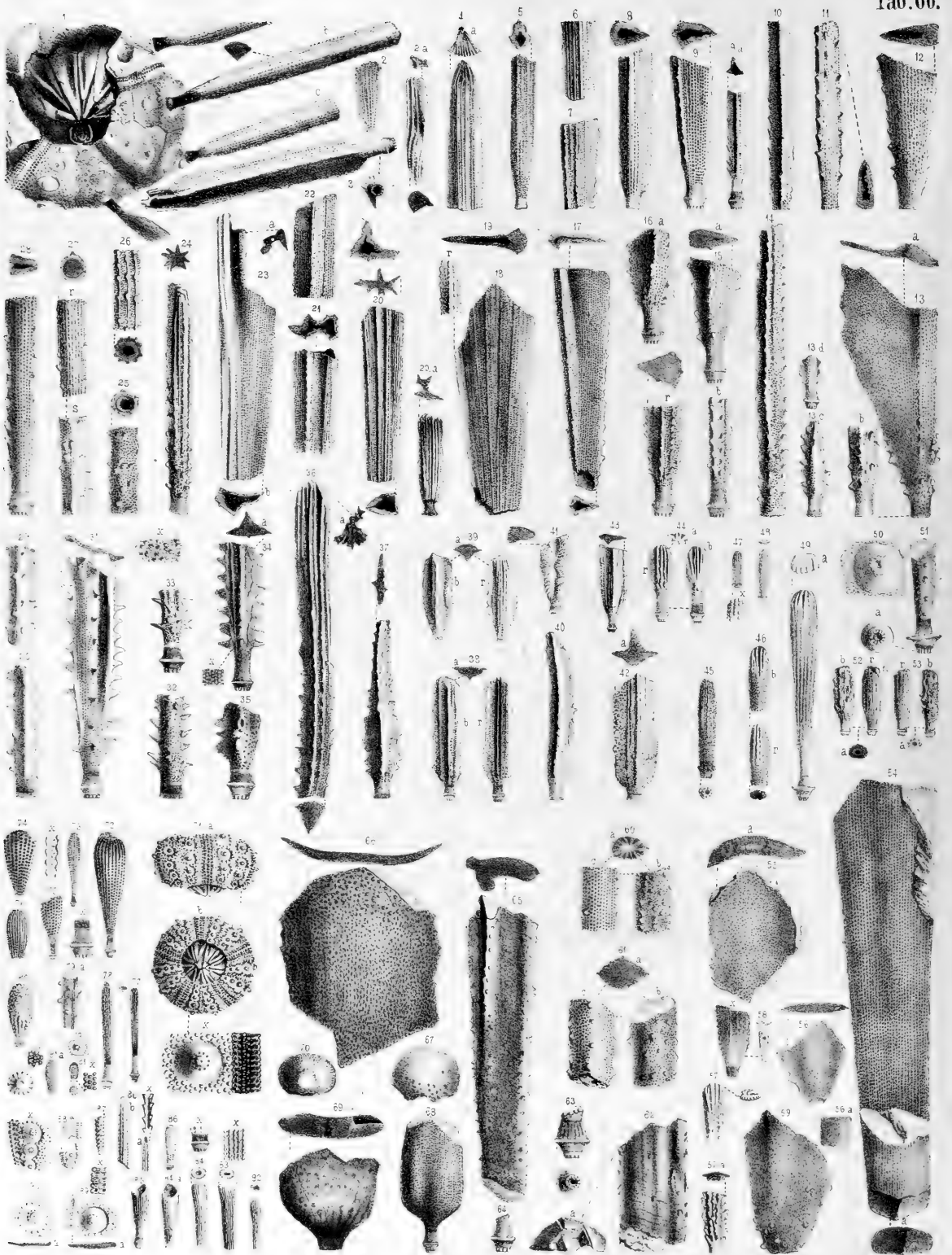
## Erklärung tab. 65.

- Fig. 1—3 Cidaris praenobilis pag. 96, brauner Jura  $\delta$ , Asseln.  
 — 4 Cidaris cf. praenobilis pag. 97, oberer brauner Jura, Pfullingen.  
 — 5 Kiefer von C. praenobilis pag. 97, brauner Jura  $\delta$ ;  $\varepsilon$  ein grösseres Stück von der Innenseite.  
 — 6 Cidaris nobilis pag. 98, Beiningen, weisser Jura  $\varepsilon$ .  
 — 7—12 Cidaris praenobilis pag. 98, brauner Jura  $\delta$ , gestachelte Varietät.  
 — 13 desgleichen pag. 99, daher, comprimirt.  
 — 14 desgleichen pag. 99, daher, fängt an pustulös zu werden.  
 — 15. a. b desgleichen pag. 99, daher, dornig und pustulös.  
 — 16 desgleichen pag. 99, daher.  
 — 17 desgleichen pag. 99, daher, oben gegabelt, wie a und b zeigt.  
 — 18 desgleichen pag. 100, daher, geflügelt.  
 — 19 desgleichen pag. 100, daher, unten ohne Kopf.  
 — 20 desgleichen pag. 100, daher, Gammelshausen.  
 — 20. a desgleichen pag. 100, daher, ohne Dornen.  
 — 21 desgleichen pag. 100, daher.  
 — 22 C. cf. praenobilis pag. 100, daher.  
 — 22. a desgleichen pag. 100, daher, Gammelshausen.  
 — 22. b desgleichen pag. 101, daher, Beuren.  
 — 23 desgleichen pag. 100, daher, ganz dünn,  $\alpha$  vergrößert.  
 — 23. a desgleichen pag. 100, daher, Gammelshausen, verwittert.  
 — 24 Cidaris praenobilis pag. 100, brauner Jura  $\delta$ , Achalm.  
 — 25 Cidaris nobilis pag. 101, weisser Jura  $\delta$ , Kapfenburg.  
 — 26 desgleichen pag. 102, daher, ungestachelt.  
 — 27. 28 desgleichen pag. 101, daher, langdornig.  
 — 29—31 desgleichen pag. 102, daher, glatt.  
 — 32 desgleichen pag. 102, daher, dünn und rund.  
 — 33 desgleichen pag. 101, daher, Assel.  
 — 34 Cidaris cf. nobilis pag. 102, weisser Jura  $\gamma$ , Hiltenburg.  
 — 34. a. b Cidaris spinosus pag. 102, weisser Jura  $\alpha$ , Lochen.  
 — 35 C. nobilis  $\varepsilon$  pag. 102, weisser Jura  $\varepsilon$ , Nattheim.  
 — 36 C. nobilis  $\varepsilon$  pag. 103, weisser Jura  $\varepsilon$ , Kehlheim.  
 — 37 C. nobilis trispinatus pag. 103, weisser Jura  $\varepsilon$ , Beiningen. Die Stacheln haben ihre ungefähre Lage beibehalten, nur behufs der Deutlichkeit wurde Einzelnes ein wenig verrückt. Die Ecke rechts unten mit Nro. 10. 11 *i k l* lag quer oben darauf. Nro. 1—13 sind gross, zum Theil stellte ich sie von verschiedenen Seiten nebst ihren Durchschnitten dar, was nicht irre leiten darf. Die kleinen sind mit a—l bezeichnet.  
 — 38 Cidaris velifer pag. 108, weisser Jura  $\zeta$ , Beiningen.  
 — 39 Cidaris bidentatus pag. 109, weisser Jura  $\varepsilon$ , Nattheim.  
 — 40. 41 Cidaris cf. trispinatus pag. 109, daher.









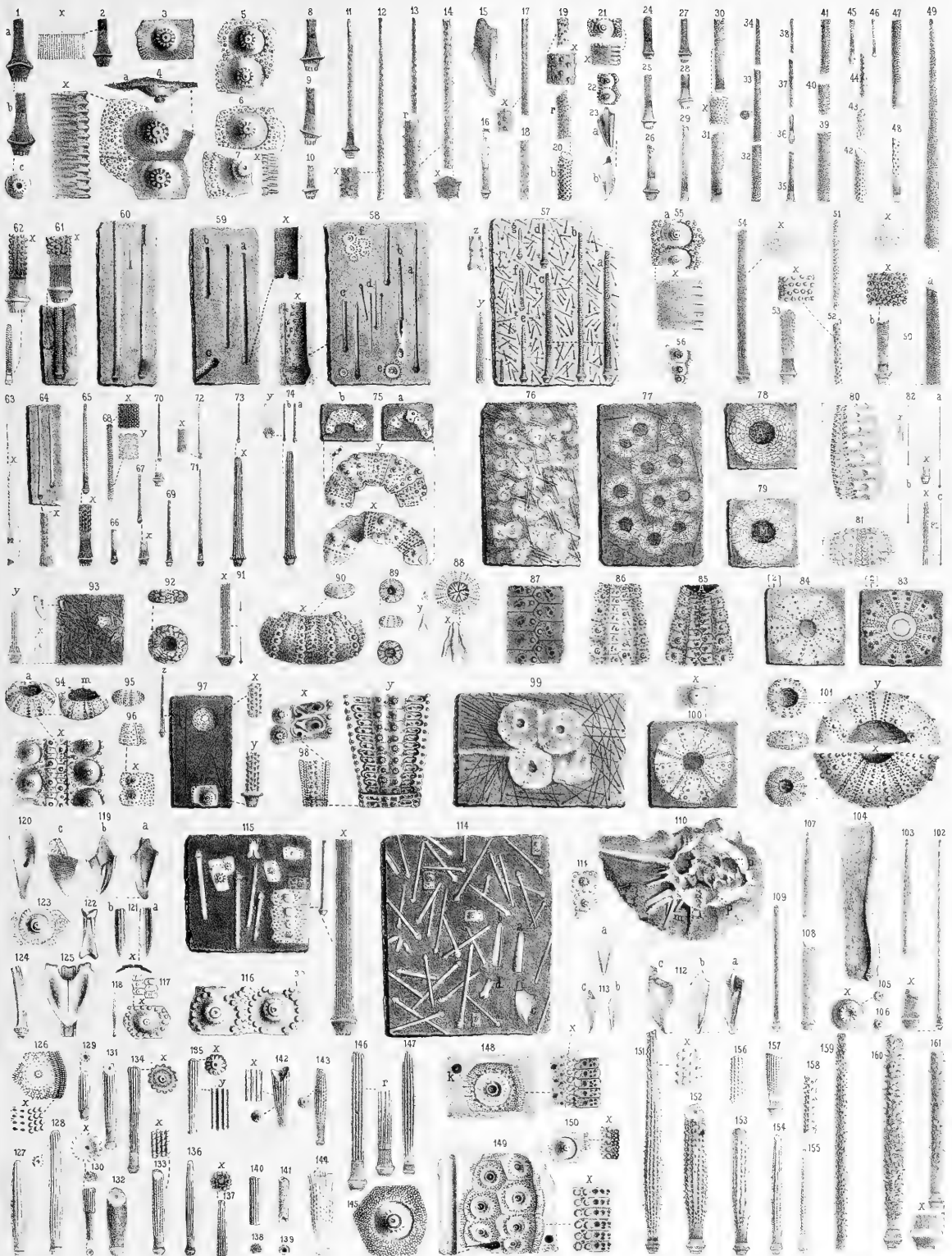


## Erklärung tab. 66.

- Fig. 1 Cidaris nobilis trilaterus pag. 109, weisser Jura  $\epsilon$ , Nattheim.  
— 2 desgleichen pag. 110, daher, von der linken Seite dargestellt.  
— 2. a desgleichen pag. 110, weisser Jura  $\epsilon \zeta$ , Rauschberg, verkrüppelt.  
— 3 desgleichen pag. 110, weisser Jura  $\epsilon$ , Nattheim.  
— 4—6 desgleichen pag. 110, daher, Nattheim.  
— 7 Cidaris cf. trispinatus pag. 111, daher, Nattheim.  
— 8—11 C. trispinatus pag. 111, daher, Nattheim.  
— 12. 13 desgleichen pag. 111, daher, Nattheim.  
— 13. c. d desgleichen pag. 111, weisser Jura  $\epsilon$ , Rauschberg.  
— 14—17 desgleichen pag. 112, weisser Jura  $\epsilon$ , Nattheim.  
— 18. 19 Cidaris cf. trispinatus pag. 112, daher.  
— 20 C. nobilis plicatus pag. 113, daher.  
— 20. a desgleichen pag. 113, Rauschberg.  
— 21—23 desgleichen pag. 113, weisser Jura  $\epsilon$ , Nattheim.  
— 24 C. cf. nobilis  $\epsilon$  pag. 113, daher.  
— 25—28 C. nob. baculiferus pag. 114, daher.  
— 29. 30 C. nob. tricarinatus pag. 115, Oerlinger Thal, weisser Jura  $\epsilon$ .  
— 31 desgleichen pag. 115, daher,  $x$  vergrösserte Fläche.  
— 32. 33 desgleichen pag. 116, daher.  
— 34. 35 C. nobilis triaculeatus pag. 116, daher.  
— 36 C. cf. Orbignyana pag. 117, daher.  
— 37 C. trispinatus pag. 117, daher.  
— 38—40 Cidarites tripterus pag. 118, daher.  
— 41 Cidaris cf. tripterus pag. 118, daher, verkrüppelt.  
— 42. 43 C. tripterus pag. 118, daher.  
— 44 C. flabellatus pag. 119, daher.  
— 45—47 desgleichen pag. 119, weisser Jura  $\epsilon$ , Nattheim.  
— 48 Keilförmiger Cidaritenstachel pag. 119.  
— 49—51 Cidaris claviceps pag. 119, weisser Jura  $\zeta$ , Steinenfeld.  
— 52. 53 Cidaris dipictus pag. 120, weisser Jura  $\zeta$ , Nattheim.  
— 54 C. spatula pag. 120, weisser Jura  $\delta$ , Altenstadt.  
— 55 C. remus pag. 121, weisser Jura  $\alpha$ , Lochen.  
— 56 C. cf. bidentatus pag. 121, mittlerer weisser Jura, Afterthal.  
— 57 C. cf. remus pag. 122, weisser Jura  $\alpha$ , Böllert.  
— 58 C. cf. bidentatus pag. 121, daher.  
— 59 C. cf. bidentatus pag. 121, daher.  
— 60 C. Orbignyanus pag. 122, daher.  
— 61 C. cf. Orbignyanus pag. 122, mittlerer weisser Jura, Beuron.  
— 62 C. cf. Orbignyanus pag. 122, weisser Jura  $\alpha$ , Böllert.  
— 63. 64 desgleichen pag. 122, daher.  
— 65 Cidaris caprimontana pag. 123, mittlerer weisser Jura.  
— 66—70 C. copeoides pag. 123, brauner Jura  $\zeta$ , Solothurn.  
— 71 C. cf. Boucharдии pag. 123, brauner Jura.  
— 72—74 C. ornatus pag. 126, brauner Jura  $\zeta$ , Gammelshausen.  
— 75—76 desgleichen pag. 126, Macrocephalusschicht, Ehningen und Gutmadingen.  
— 77. 78 Cidaris cf. praenobilis pag. 127, Gammelshausen und Ehningen.  
— 79 C. praenobilis pag. 127, brauner Jura  $\gamma$ , Gingen, Sowerbybank.  
— 80 C. ovispina pag. 128, daher.  
— 81. 81. a C. cf. Gingensis pag. 128, daher.  
— 82—85 C. Gingensis pag. 128, daher.  
— 86 C. cf. elegans pag. 128, daher.  
— 86. a. b C. cf. histricoides pag. 128, daher.  
— 87 C. Torulosi pag. 129, brauner Jura  $\alpha$ , Waldstetten.  
— 88 desgleichen pag. 129, daher, Schömberg.  
— 89 Cidaris cf. Blumenbachii pag. 130, weisser Jura  $\epsilon \zeta$ , Rauschberg.  
— 90 C. cf. nobilis pag. 130, daher.
-

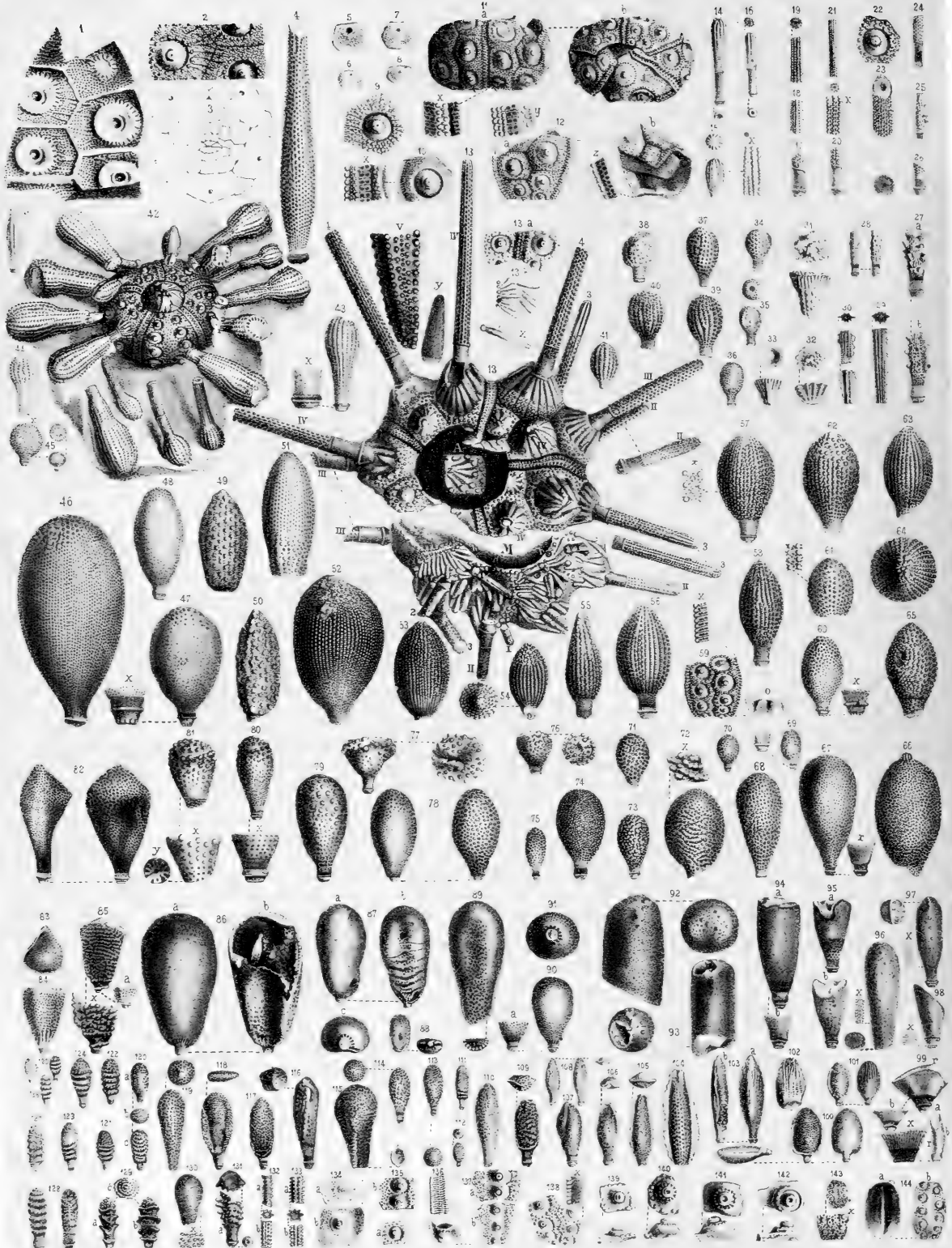
## Erklärung tab. 67.

- Fig. 1—4 *Cidaris amalthei* pag. 130, Lias  $\delta$ , Dörlbach.  
— 5—7 desgleichen pag. 131, Lias  $\delta$ , Dürnau und Ofterdingen.  
— 8—10 desgleichen pag. 132, Lias  $\delta$ , Plattenhardt.  
— 11—14 *Cidaris amaltheoides* pag. 133, Lias  $\delta$ , Dürnau.  
— 15 Laternenstück pag. 133, eines ächten *Cidaris*, daher.  
— 16 Cidaritenstachel pag. 133, daher.  
— 17 *Cidaris* pag. 133, Lias  $\delta$ , Dürnau.  
— 18 *Cidaris* pag. 133, Lias  $\delta$ , Plattenhardt.  
— 19. 20 *C. cf. amaltheoides* pag. 134, Lias  $\delta$ , Dörlbach.  
— 21—23 *C. arietis* pag. 135, Lias  $\alpha$ , Eberbach.  
— 24—29 desgleichen pag. 136, daher, glatte Stacheln.  
— 30—48 desgleichen pag. 136, daher, rauhe Stacheln.  
— 49 *Cidaris psilonoti* pag. 138, unterer Lias  $\alpha$ , Kreuz.  
— 50 *C. psil. limatus* pag. 138, unterer Lias  $\alpha$ , Nellingen.  
— 51 *C. psil. condylodes* pag. 139, unterer Lias  $\alpha$ , Degerloch.  
— 52 *C. arietis* pag. 139, oberer Lias  $\alpha$ , Dusslingen.  
— 53. 54 *C. ar. laevis* pag. 139, oberer Lias  $\alpha$ , Dusslingen.  
— 55 *C. arietis* pag. 140, oberer Lias  $\alpha$ , Bebenhausen.  
— 56 *C. cf. psilonoti* pag. 140, unterer Lias  $\alpha$ , Pfrondorf.  
— 57 *C. cf. psilonoti* pag. 140, unterer Lias  $\alpha$ , Schambelen.  
— 58 *C. angulati* pag. 142, mittlerer Lias  $\alpha$ , Frickenhofen.  
— 59 *C. ang. praemorsus* pag. 142, mittlerer Lias  $\alpha$ , Hüttlingen.  
— 60 *C. Posidoniae* pag. 143, Lias  $\varepsilon$ , Pliensbach.  
— 61 *C. cf. Jurensis* pag. 143, Lias  $\varepsilon$ , Holzmaden.  
— 62—64 *C. Jurensis* pag. 144, Lias  $\varepsilon$ , Heiningen.  
— 65 *C. Jurensis* pag. 144, Torulosuschicht, Boll.  
— 66—72 *C. miserabilis* pag. 145, Lias  $\alpha$ , Göppingen.  
— 73 *C. striospina* pag. 145, daher.  
— 74 desgleichen pag. 146, brauner Jura  $\alpha$ , Teufelsloch.  
— 75 *Cidaris cf. striospina* pag. 146, daher.  
— 76—88 *C. olifex* pag. 148, oberer Lias  $\alpha$ , Dusslingen.  
— 89—91 *C. minutus* pag. 152, Lias  $\beta$ , Fullbach etc.  
— 92. 93 *Cidaris* pag. 153, Lias  $\gamma$ , Ohmenhausen.  
— 94—97 *C. octocephs* pag. 153, Lias  $\delta$ , Hechingen, Sondelfingen.  
— 98 *C. laqueatus* pag. 155, Lias  $\delta$ , Dürnau.  
— 99. 100 *C. criniferus* pag. 156, Lias  $\varepsilon$ , Pliensbach.  
— 101 *C. granulatus* pag. 156, mittlerer brauner Jura, Baselland.  
— 102—109 *C. grandaevus* pag. 158, Hauptmuschelkalk, Crailsheim etc. Stacheln.  
— 110 desgleichen pag. 159, Hauptmuschelkalk, Kirchheim.  
— 111 *Cidaris coevus* pag. 160, daher, Jaxtthal.  
— 112. 113 *C. cf. grandaevus* pag. 160, Hauptmuschelkalk, Jaxtthal.  
— 114 desgleichen pag. 160, Hauptmuschelkalk, Bibersfeld.  
— 115 *Cidaris cf. grandaevus* pag. 161, Wellendolomit, Schwarzwald.  
— 116 *Palaechinus Verneuiliana* pag. 162, Zechsteindolomit, Humbleton Hill, Copie.  
— 117. 118 *Cidaris Keyserlingi* pag. 162, Zechstein, Corbusen, Copie.  
— 119—121 *C. Nerei* pag. 163, Bergkalk, Tournay.  
— 122—124 desgleichen pag. 163, daher, Copie.  
— 125 *Archaeocidaris Rossicus* pag. 164, Bergkalk, Russland, Copie.  
— 126 *Cidaris vesiculosus* pag. 166, Essen, Copie.  
— 127—142 desgleichen pag. 166, daher, Tourtia.  
— 143 *Cidaris cf. vesiculosus* pag. 168, unterer Pläner, Plauen.  
— 144 *C. cf. vesiculosus* pag. 168, daher, Copie.  
— 145—147 *C. cf. gaultinus* pag. 168, Gault, Var.  
— 148 *C. cf. vesiculosus* pag. 169, Feuerstein, Satow, Kreide.  
— 149 *C. cf. subvesiculosus* pag. 169, Feuerstein, Bobberöhrsdorf, Kreide.  
— 150 *C. vesiculosus* pag. 170, Kreide, Rügen.  
— 151—155 *C. subvesiculosus* pag. 171, Kreide, Rügen.  
— 156—158 *C. cf. vesiculosus* pag. 171, daher.  
— 159—161 *C. cf. perornatus* pag. 172, daher.









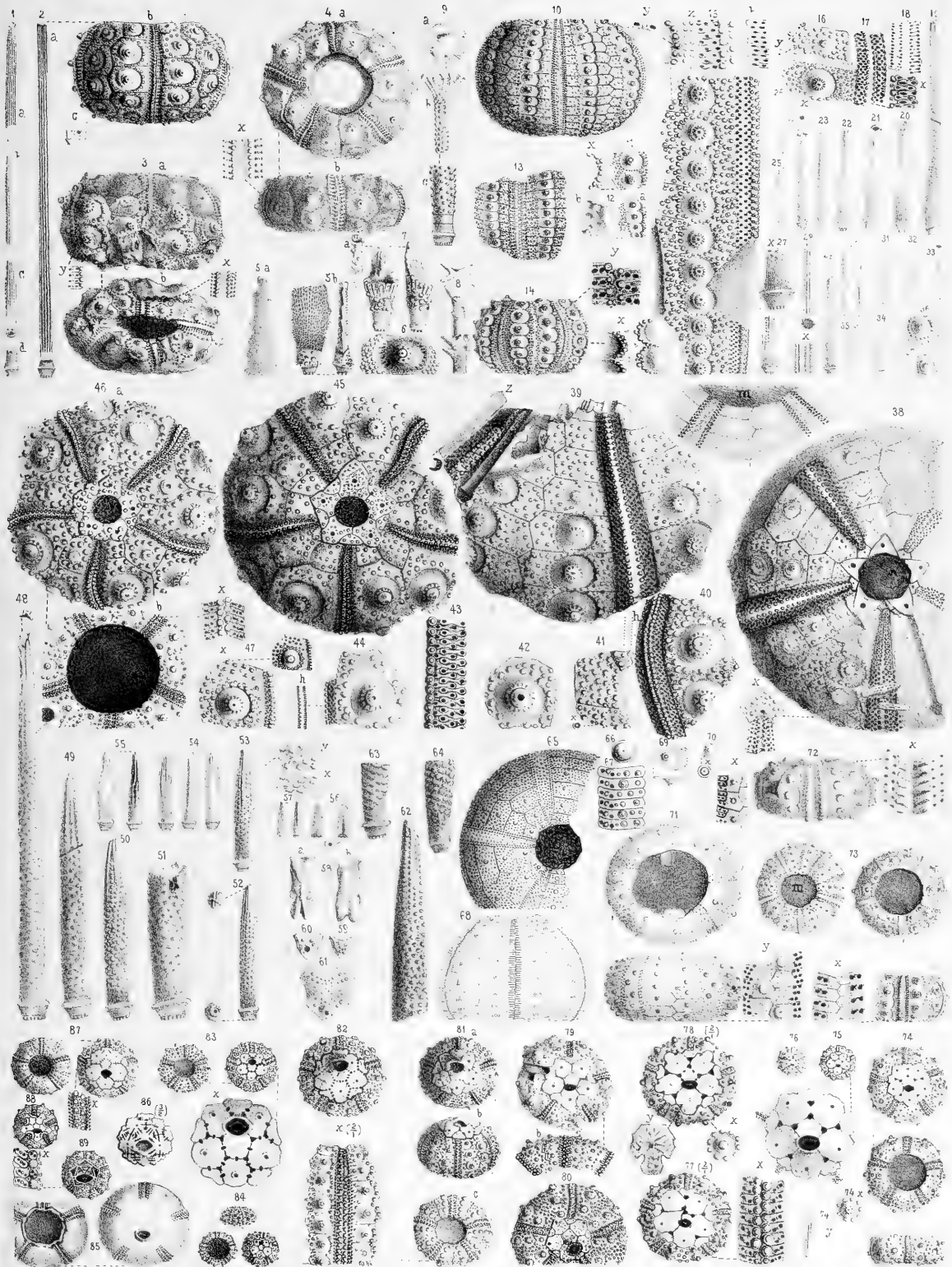
## Erklärung tab. 68.

- Fig. 1 Cidaris rimatus pag. 173, Abdruck auf Feuerstein, Kreideformation, Kröplin.  
— 2 Temnocidaris Baylei pag. 174, Sénonien, Copie nach Cotteau.  
— 3 Cidaris subvesiculosus pag. 175, White Chalk, Afterscheibe, Copie nach Wright.  
— 4 C. sceptrifera pag. 175, White Chalk, England.  
— 5—8 C. cf. cretosus pag. 176, Kreide, Rügen, Eiertafeln.  
— 9. 10 C. cf. vesiculosus pag. 176, daher.  
— 11. 12 C. Reussi pag. 177, Pläner, Neinstedt.  
— 13 Cidaris coronostriatus pag. 180, Weisser Jura ζ, Ringingen, Stuttgarter Museum. A After-, M Mundseite.  
— 14—16 C. coronoglobus pag. 178, Essen, Tourtia.  
— 17—21 C. variabilis pag. 179, Hils, Achim.  
— 22. 23 desgleichen pag. 180, Hils, Elligser Brink.  
— 24—26 C. cf. Lardyi pag. 183, Hils, Elligser Brink.  
— 27. 28 C. muricatus pag. 184, Hils, Achim.  
— 29. 30 Rhabdocidaris cf. tuberosa pag. 184, Neocom, Provence.  
— 31—33 Cidaris pistillum pag. 184, weisse Kreide, Rügen.  
— 34—38 C. globiceps pag. 187, Grünsand, Essen.  
— 39—41 C. Sorigneti pag. 187, unterer Pläner, Plauen.  
— 42 C. margaritifera pag. 185, Chalk, Kent, Copie nach Sowerby.  
— 42. a desgleichen, Copie nach Wright.  
— 43. 44 C. claviger pag. 186, White Chalk, Kent.  
— 45 Cidaris pag. 186, Grobkalk, Damery.  
— 46—48 Radiolus glandarius claviphœnix pag. 188, Fundort unbekannt.  
— 49. 50 R. gland. clavimorus pag. 189, desgleichen.  
— 51 R. cf. glandarius pag. 190, desgleichen.  
— 52—56 R. glandarius pag. 190, 53 von Palestina.  
— 57—59 R. gland. authentica pag. 191, Bajocien, Longvy.  
— 60 R. gland. pyrifer pag. 191, weisser Jura γ, Reehberg.  
— 61. 62 R. glandarius pag. 191, oberer weisser Jura, Stramberg.  
— 63—65 R. glandarius pag. 192, Jura, Crusnes.  
— 66—78 R. dorsatus pag. 193, St. Cassian.  
— 79—81 Cidaris foratus pag. 195, St. Cassian.  
— 82 C. crumena pag. 195, St. Cassian.  
— 83—85 C. trigonus pag. 196, daher.  
— 86—89 Radiolus complanatus pag. 196, daher.  
— 90. 91 R. cf. dorsatus pag. 198, daher.  
— 92—95 R. fustis pag. 198, daher.  
— 96 Cidaris cf. Bronnii pag. 199, daher.  
— 97 C. cf. semicostata pag. 199, daher.  
— 98 C. undulatus pag. 199, daher.  
— 99 C. Buchii pag. 200, daher.  
— 100—108 C. alatus cimiciformis pag. 201, daher.  
— 109—115 C. cf. alatus pag. 202, daher.  
— 116—118 C. cf. alatus pag. 202, beutelförmig, daher.  
— 119 C. nodiclava pag. 203, kolbenförmig, daher.  
— 120—129 C. Römeri pag. 204, St. Cassian.  
— 130 C. steliclava pag. 203, daher.  
— 131 C. cf. Wächteri pag. 203, daher.  
— 132 C. baculifera pag. 206, daher.  
— 133 C. cf. baculifera pag. 206, daher.  
— 134 Assulæ laminatæ pag. 206, daher.  
— 135 Cidaris subnobilis pag. 207, daher.  
— 136. 137 C. Suessii pag. 207, daher.  
— 138. 139 C. Liagora pag. 208, daher.  
— 140 C. subcoronata pag. 208, daher.  
— 141 C. cf. subcoronata pag. 209, daher.  
— 142 C. sp. ind. pag. 209, daher.  
— 143. 144 C. Admeto pag. 209, daher.
-

## Erklärung tab. 69.

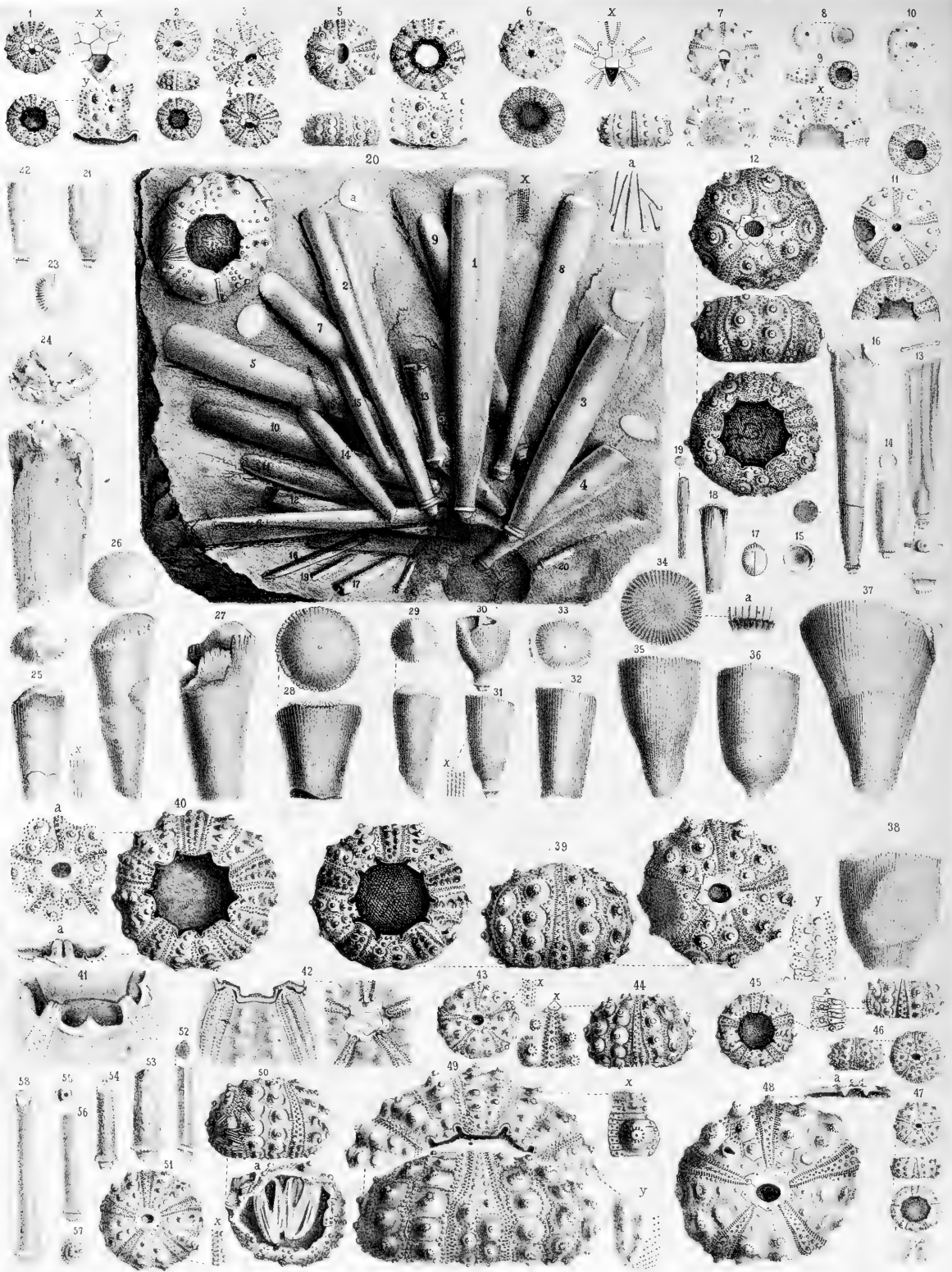
- Fig. 1 Cidaris praehistrix pag. 211, Molasse, Dürmentingen.  
 — 2 C. histrix pag. 211, lebend, Mittelmeer.  
 — 3 C. infrateriarius pag. 212, Eocen, Grünten.  
 — 4 C. Veronensis pag. 212, Eocen, Monte Lupario.  
 — 5 a. b C. Schmideli pag. 213, unbekanntes Fundorts.  
 — 6 Porocidaris pag. 213, Assel, Verona, Nummulithenkalk, Copie.  
 — 7 Cidaris cocenus pag. 215, Eocen, Teisenberg.  
 — 8 C. cervicornis pag. 214, Verona, Nummulithenkalk.  
 — 9 C. stemmacantha pag. 214, Molasse, Copie.  
 — 10—12 Polycidaris multiceps pag. 216, weisser Jura  $\alpha$ , Böllert.  
 — 13 desgleichen pag. 216, weisser Jura  $\gamma$ , Friedingen.  
 — 14 Polycidaris nonarius pag. 217, weisser Jura  $\alpha$ , Lochen.  
 — 15 Diplocidaris alternans pag. 219, weisser Jura  $\epsilon$ , Nattheim.  
 — 16—18 Diplocid. Desori pag. 219, weisser Jura  $\epsilon$ , Oerlinger Thal.  
 — 19 Diplocid. cf. Desori pag. 221, daher, betrüglich zusammengesetzt.  
 — 20—26 desgleichen pag. 221, daher.  
 — 27. 28 desgleichen pag. 222, Nollhaus.  
 — 29 desgleichen pag. 222, Nattheim.  
 — 30—35 Gefügelte Stacheln pag. 222, weisser Jura  $\epsilon$ , Oerlinger Thal.  
 — 36. 37 Cf. Diplocidaris pag. 223, Lochen.  
 — 38 Diplocidaris gigantea pag. 224, weisser Jura  $\epsilon$ , Ittenhausen.  
 — 39 desgleichen pag. 223, weisser Jura  $\epsilon$ , Kienlesberg.  
 — 40—43 Diplocid. pustuliferus pag. 226, weisser Jura  $\epsilon$ , Oerlinger Thal.  
 — 44—46 desgleichen pag. 226, weisser Jura  $\epsilon$ , Nattheim.  
 — 47 Pustulifere pag. 227, weisser Jura  $\alpha$ , Lochen.  
 — 48—57 desgleichen pag. 227, weisser Jura  $\epsilon$ , Oerlinger Thal.  
 — 58 desgleichen pag. 229, daher, Balken.  
 — 59—61 desgleichen pag. 229, daher, Genitalplatten.  
 — 62—64 desgleichen pag. 230, weisser Jura  $\epsilon$ , Nattheim.  
 — 65—68 Orthocidaris inermis pag. 231, Neocom, Copie.  
 — 69. 70 Cf. Leptocidaris pag. 233, weisser Jura  $\alpha$ , Lochen.  
 — 71 Leptocidaris triceps pag. 232, mittlerer weisser Jura, Nusplingen.  
 — 72 Cidaris Blaburensis pag. 233, oberer weisser Jura, Blaubeuren.  
 — 73 Cidaris pag. 234, weisser Jura  $\gamma$ , Salmendingen.  
 — 74—77 Salaria interpunctata pag. 239, weisser Jura  $\epsilon$ , Nattheim.  
 — 78 S. sculptopunctata pag. 242, daher.  
 — 79 S. interpunctata pag. 241, oberer weisser Jura, Nickolsburg.  
 — 80 Heterosalenia Martini pag. 243, Hippuritenkreide, Copie.  
 — 81 Salaria areolata pag. 244, oberer Quader, Salzburg.  
 — 82 S. stellifera pag. 245, weisse Kreide, Rügen.  
 — 83 S. petalifera pag. 246, chloritische Kreide, Pyn.  
 — 84 S. macrostoma pag. 247, Neocom, Bieler See.  
 — 85 Peltastes clathratus pag. 248, Gault, Perte du Rhône, Steinkern.  
 — 86. 87 P. Studeri pag. 248, daher, Schale.  
 — 88 P. acanthoides pag. 249, Cenoman von Havre, Copie.  
 — 89 Goniophorus lunulatus pag. 249, daher, Copie.









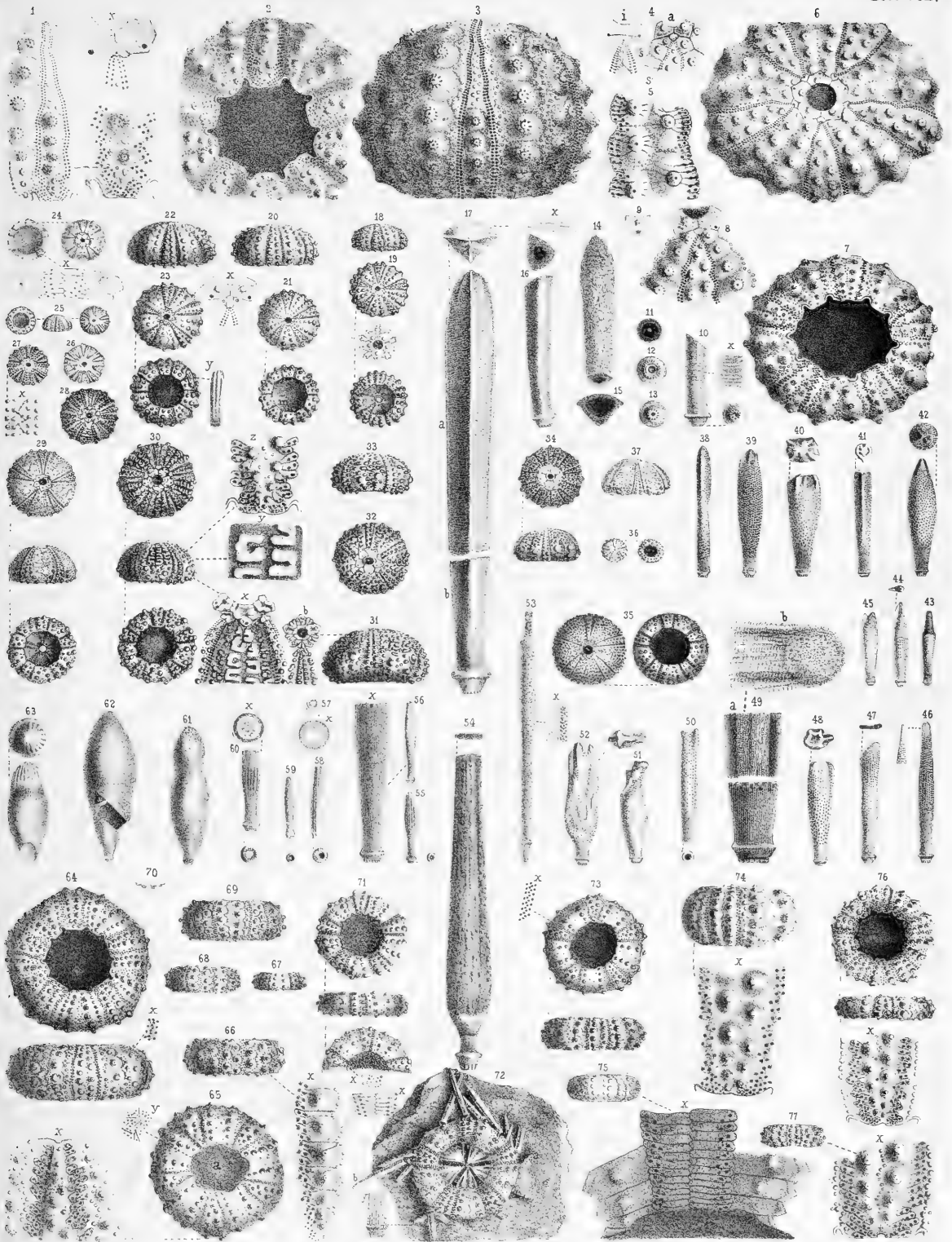


## Erklärung tab. 70.

- Fig. 1 Acrosalenia spinosa pag. 251, Cornbrash, Wiltshire.  
— 2—4 desgleichen pag. 252, mittlerer brauner Jura, Hummel.  
— 5 Acros. Lycetti pag. 253, Pea Grit, Crickley.  
— 6 Milnia Haimii pag. 254, Neocom, Bieler See.  
— 7 Milnia dolomitica pag. 255, weisser Jura  $\varepsilon$ , Nattheim.  
— 8 Psilosalenia Lochensis pag. 255, weisser Jura  $\alpha$ , Lochen.  
— 9 Psilos. scabra pag. 256, weisser Jura  $\alpha$ , Mülheim.  
— 10 Psilos. Germanica pag. 256, weisser Jura  $\alpha$ , Lochen.  
— 11 Echinopsis calva pag. 257, weisser Jura  $\varepsilon$ , Nattheim.  
— 12 Tiaris Scolopendra pag. 260, daher.  
— 13—15 Tiaris fistulosus pag. 264, weisser Jura  $\varepsilon$ , Ulm.  
— 16—19 Tiaris claviceps pag. 265, daher.  
— 20 Tiaris Scolopendra pag. 262, weisser Jura  $\varepsilon\zeta$ , Beiningen.  
— 21 Tiaris cf. fistulosus pag. 266, weisser Jura  $\varepsilon$ , Nattheim.  
— 22 Tiaris cf. Scolopendra pag. 266, daher.  
— 23 Tiaris cf. claviceps pag. 266, weisser Jura  $\varepsilon$ , Ulm.  
— 24 Tiaris cf. conoideus pag. 266, weisser Jura  $\varepsilon$ , Nattheim.  
— 25—28 Tiaris conoideus suevicus pag. 266, weisser Jura  $\varepsilon$ , Ulm.  
— 29 desgleichen pag. 267, Nattheim.  
— 30—31 Tiaris fistulosus moravicus pag. 268, Nickolsburg, Oberer weisser Jura.  
— 32—38 Tiaris conoideus moravicus pag. 267, daher.  
— 39 Tiaris crenularis pag. 269, wahrscheinlich Nattheim.  
— 40 Tiaris crenul. antiserialis pag. 270, Oxfordien supérieur, Trouville.  
— 41 Cidaris coronatus pag. 271, Terr. à Chailles Druyes.  
— 42 Tiaris cf. diademata pag. 271, daher.  
— 43 Tiaris antiserialis pag. 272, weisser Jura  $\varepsilon$ , Nattheim.  
— 44 Tiaris cf. crenularis pag. 272, Heidenheim?  
— 45 Tiaris Luciensis pag. 272, Grande Oolite, Poix.  
— 46 Tiaris antiserialis pag. 273, weisser Jura  $\varepsilon$ , Nattheim.  
— 47 Tiaris Scolopendra pag. 273, daher.  
— 48 Tiaris crenularis pag. 274, daher, cf. diademata Ag.  
— 49 desgleichen pag. 274, daher.  
— 50 Tiaris intermedius pag. 275, Coralrag, Wiltshire.  
— 51 Tiaris mitra pag. 276, Portland, Solothurn.  
— 52—53 Tiaris undulatus pag. 277, Coralrag, Birsthal.  
— 54 Tiaris stramonium pag. 277, daher.  
— 55—56 Tiaris cf. intermedius pag. 276, daher.  
— 57—58 desgleichen pag. 276, weisser Jura  $\varepsilon$ , Nattheim.

## Erklärung tab. 71.

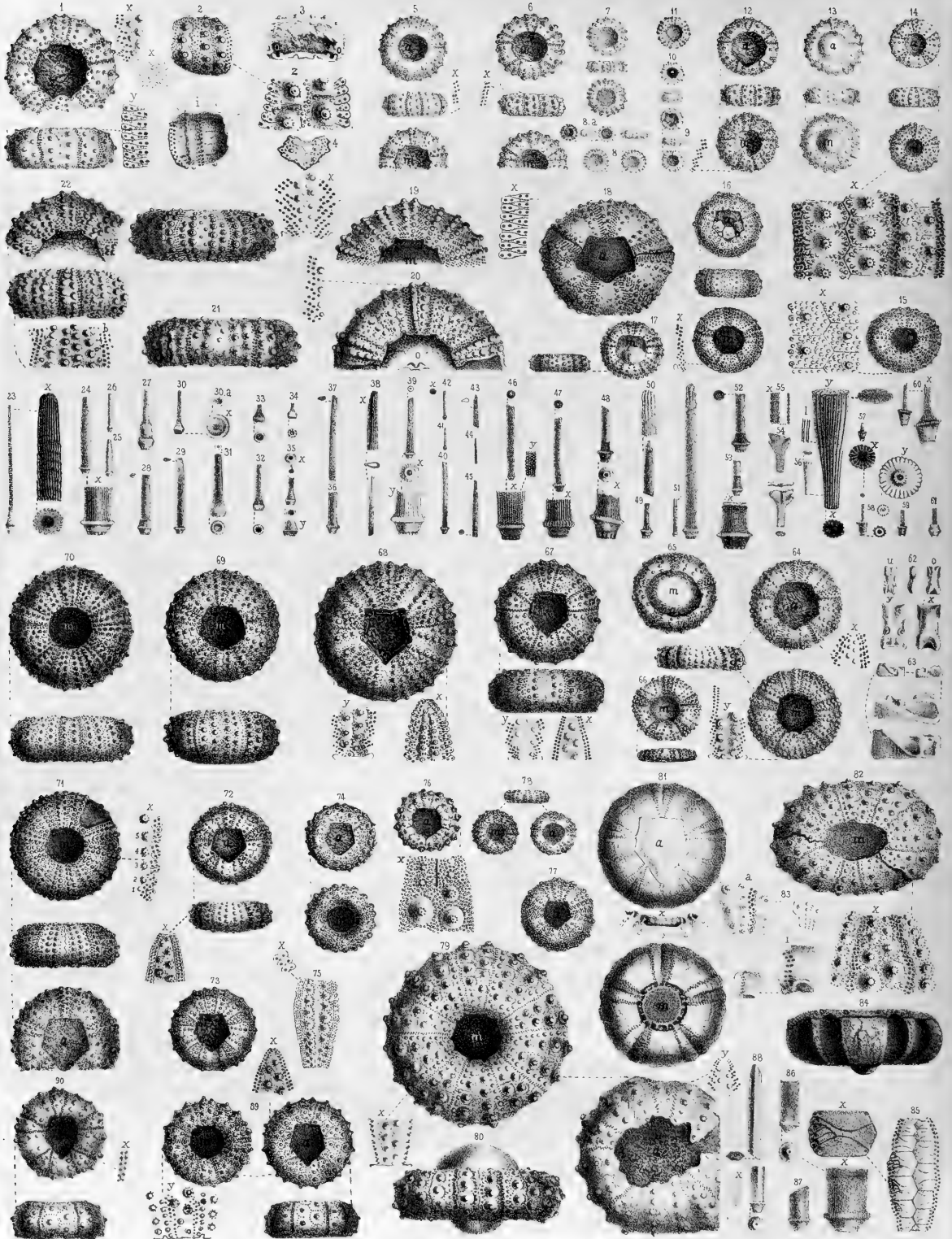
- Fig. 1. 2 *Tiaris serialis* pag. 277, weisser Jura  $\varepsilon$ , Nattheim;  $x$  und  $y$  vergrössert.  
— 3 desgleichen pag. 278, weisser Jura  $\varepsilon$ , Hohenstadt.  
— 4 *Acrocidaris formosus* pag. 281, weisser Jura  $\varepsilon$ , Nattheim: Scheitel  $i$  innen,  $a$  aussen.  
— 5 desgleichen pag. 281, daher, etwas vergrössert.  
— 6 desgleichen pag. 280, weisser Jura  $\varepsilon\zeta$ , Birkenlau bei Sotzenhausen.  
— 7 desgleichen pag. 280, weisser Jura  $\varepsilon$ , Nattheim.  
— 8. 9 desgleichen pag. 280, weisser Jura  $\varepsilon$ , Nattheim.  
— 10 *Acrocidaris undulatus* pag. 282, Oberer weisser Jura, Birsthal.  
— 11—17 *Acrocidaris formosus* pag. 281, weisser Jura  $\varepsilon$ , Nattheim.  
— 18—21 *Cidaris acqutuberculatus* pag. 283, daher.  
— 22. 23 desgleichen pag. 284, weisser Jura  $\varepsilon$ , Nickolsburg.  
— 24 *Gomopygus peltatus* pag. 284, Neocom, Neuchatel.  
— 25—28 *Echinus sulcatus* pag. 286, weisser Jura  $\varepsilon$ , Engelhardtsberg.  
— 29 *Echinus cf. sulcatus* pag. 286, weisser Jura  $\varepsilon$ , Nattheim.  
— 30 *Echinus hieroglyphicus* pag. 287, Kieselnierenkalk, Fringeli.  
— 31 desgleichen pag. 288, daher.  
— 32 desgleichen pag. 288, Belfort, weisser Jura.  
— 33 desgleichen pag. 289, Novion, weisser Jura.  
— 34 *Echinus sulcopunctus* pag. 289, Birsthal.  
— 35 *Echinus intricatus* pag. 289, weisser Jura  $\varepsilon$ , Nickolsburg.  
— 36. 37 *Echinus cf. hieroglyphicus* pag. 289, weisser Jura  $\varepsilon$ , Nattheim.  
— 38—48 *Cidaris cucumis* pag. 290, weisser Jura  $\alpha$ , Lochen etc.  
— 49 desgleichen pag. 292, daher, vergrössert:  $a$  Längs-,  $b$  Querschnitt.  
— 50 desgleichen pag. 291, daher, Blindstacheln.  
— 51 desgleichen pag. 293, Oberer weisser Jura, Ehrenstein.  
— 52 desgleichen pag. 293, weisser Jura  $\varepsilon$ , Steinweiler.  
— 53 Verkieselter Stachel pag. 292, weisser Jura  $\varepsilon$ , Nattheim.  
— 54 Verdrückter Stachel pag. 292, weisser Jura  $\zeta$ , Nusplingen.  
— 55 *Cidaris subteres* pag. 293, weisser Jura  $\alpha$ , Streitberg.  
— 56 desgleichen pag. 294, weisser Jura  $\gamma$ , Gosbach.  
— 57 desgleichen pag. 294, weisser Jura  $\gamma$ , Weissensteiner Steige.  
— 58—60 desgleichen pag. 294, weisser Jura  $\varepsilon$ , Oerlinger Thal.  
— 61—63 *Cidaris clunifer* pag. 294, Oberes Neocom, Neuchatel.  
— 64 *Diadema subangularis* pag. 299, weisser Jura  $\varepsilon$ , Rauschberg.  
— 65 desgleichen pag. 299, weisser Jura  $\varepsilon$ , Nollhaus.  
— 66 desgleichen pag. 300, Oolith  $\varepsilon$ , Schnaitheim.  
— 67—69 desgleichen pag. 302, daher.  
— 70 desgleichen pag. 299, Nattheim, nach unten gekehrte Ohren.  
— 71 *Pseudodiadema parvulum* pag. 302, weisser Jura  $\varepsilon$ , Schelklingen.  
— 72 *Diadema subangularis* pag. 301, weisser Jura  $\zeta$ , Sotzenhausen.  
— 73 *Diadema cf. Aroviense* pag. 303, Kieselnierenkalk, Fringeli.  
— 74 *Diadema cf. subangularis* pag. 303, weisser Jura, Crusnes.  
— 75 *Diadema* pag. 304, Brauner Jura? Balingen.  
— 76 *Diadema depressum* pag. 304, Brauner Jura  $\delta$ , Hohe Karpfen.  
— 77 desgleichen pag. 305, Inferior Oolite, Crickley.









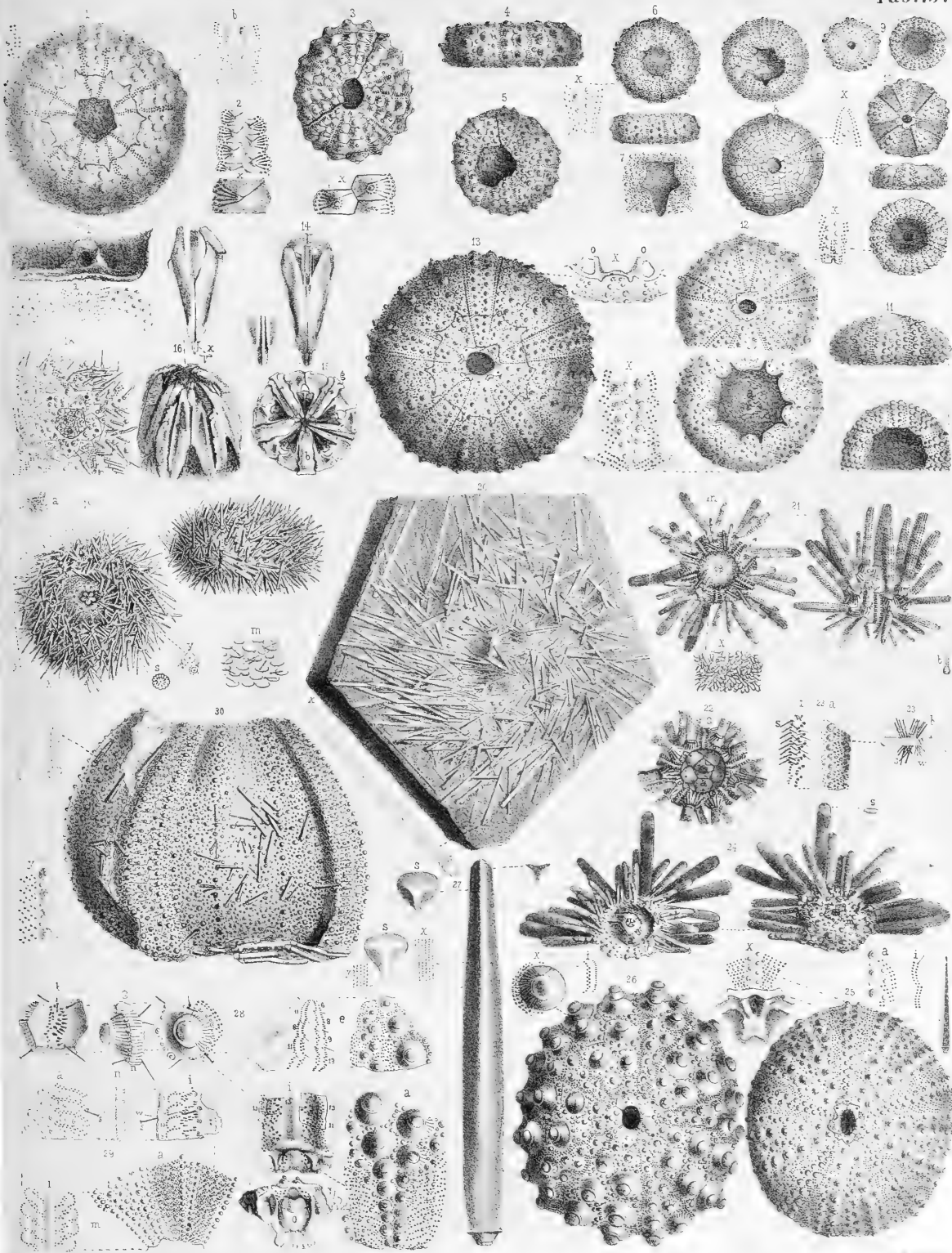


## Erklärung tab. 72.

- Fig. 1 Diadema Lochensis pag. 305, weisser Jura  $\alpha$ , Lochen.  
 — 2 desgleichen pag. 305, daher, Bruchstück, *i* innen.  
 — 3 desgleichen pag. 305, daher, *o* innere Ohren.  
 — 4 desgleichen pag. 306, daher, Bruchstück vom Afterrande.  
 — 5—7 Diadema Lochensis minor pag. 306, daher, mittelgross.  
 — 8. 8a desgleichen pag. 307, daher, kleinste Brut.  
 — 9. 10 Psilosalenia pag. 307, daher, Brut.  
 — 11. 12 Diadema areolatum pag. 307, weisser Jura  $\alpha$ , Birmensdorf.  
 — 13 Diadema distichus pag. 308, weisser Jura  $\varepsilon$ , Nattheim.  
 — 14 Diadema superbum pag. 308, Ornathenthon, Belfort.  
 — 15 Diadema homostigma pag. 308, oberer Ornathenthon, Birsthal.  
 — 16 Diadema Meriani pag. 309, mittlerer brauner Jura, Hauenstein.  
 — 17. 18 Diadema subangularis pag. 310, weisser Jura  $\varepsilon$ , Nattheim.  
 — 19 Diad. subangularis polyopus pag. 311, daher.  
 — 20 Diad. subang. oligopus pag. 311, daher.  
 — 21 Diad. subang. exostichus pag. 311, weisser Jura  $\varepsilon$ , Ringingen.  
 — 22 Diad. tetrastichus pag. 312, weisser Jura  $\varepsilon$ , Nattheim.  
 — 23 Diad. Savignyi pag. 312, Stachel, lebt im Rothen Meere.  
 — 24—26 Diad. cf. subangularis pag. 312, weisser Jura  $\varepsilon$ , Nattheim.  
 — 27—29 desgleichen pag. 313, weisser Jura  $\varepsilon$ , Oerlinger Thal.  
 — 30 Radiolus macrocephalus pag. 313, daher.  
 — 31 desgleichen pag. 313, weisser Jura  $\varepsilon$ , Schnaitheim.  
 — 32—35 Radioli macrocephali pag. 313, weisser Jura  $\alpha$ , Lochen.  
 — 36—44 Diadema Lochensis pag. 314, daher.  
 — 45 desgleichen pag. 314, weisser Jura  $\gamma$ , Veilsbrunn.  
 — 46 Diadema breviceps pag. 315, weisser Jura  $\alpha$ , Lochen.  
 — 47 Diad. strigiceps pag. 315, desgleichen, daher.  
 — 48—50 Diad. orbiceps pag. 315, desgleichen, daher.  
 — 51 Diad. cf. orbiceps pag. 315, weisser Jura  $\alpha$ , Veilsbrunn.  
 — 52. 53 Cidaris cf. digitatus pag. 316, weisser Jura  $\alpha$ , Lochen.  
 — 54 Cidaris digitatus pag. 316, desgleichen, daher.  
 — 55 Cidaris cf. digitatus pag. 316, desgleichen, daher.  
 — 56 Cidaris cf. Lochensis pag. 316, desgleichen, daher.  
 — 57. 58 Diadema caliculus pag. 317, weisser Jura  $\alpha$ , Lochen.  
 — 59. 60 desgleichen pag. 317, weisser Jura  $\varepsilon$ , Oerlinger Thal.  
 — 61 kranker Stachel pag. 317, daher.  
 — 62 Balken von Diadema pag. 318, weisser Jura  $\alpha$ , Lochen.  
 — 63 Ergänzungsstück von Diadema pag. 318, daher.  
 — 64—66 Tetragramma planissimum pag. 318, Portland, Solothurn.  
 — 67 Diadema Anonii pag. 319, weisser Jura, Schweiz.  
 — 68. 69 Tetragramma Brongnarti pag. 320, Gault, Perte du Rhone.  
 — 70 Cidaris variolaris pag. 321, Chloritische Kreide, Chard.  
 — 71 Cidaris cf. variolaris pag. 322, Gault, Escragnolle.  
 — 72 Diadema cf. Blancheti pag. 322, Gault, Perte du Rhone.  
 — 73 Diad. Blancheti pag. 322, Chloritische Kreide, Vaches noires.  
 — 74. 75 Diad. Rhodani pag. 323, Gault, Perte du Rhone.  
 — 76 Diad. Normaniae pag. 323, Chloritische Kreide, Rouen.  
 — 77. 78 Diad. rotulare pag. 324, Neocom, Neuchatel.  
 — 79 Cyphosoma corollaris pag. 325, weisse Kreide, Geschiebe von Satow.  
 — 80 desgleichen pag. 326, weisse Kreide, Rügen.  
 — 81 desgleichen pag. 326, Feuersteinkern, Geschiebe von Satow.  
 — 82 Cyphosoma variol. princeps pag. 327, weisse Kreide, Rügen.  
 — 83 desgleichen pag. 327, daher, Bruchstück vom Mundrande.  
 — 84 Cyphosoma corollaris pag. 326, Feuersteingeschiebe, Malchin.  
 — 85 desgleichen pag. 327, Feuersteingeschiebe, Satow.  
 — 86. 87 Cyphosoma variolatus pag. 328, weisse Kreide, Rügen.  
 — 88 desgleichen pag. 328, daher, gekantet.  
 — 89 Cyph. variol. Strehlensis pag. 328, Pläner, Strehlen.  
 — 90 desgleichen pag. 329, Pläner, Neinstedt.

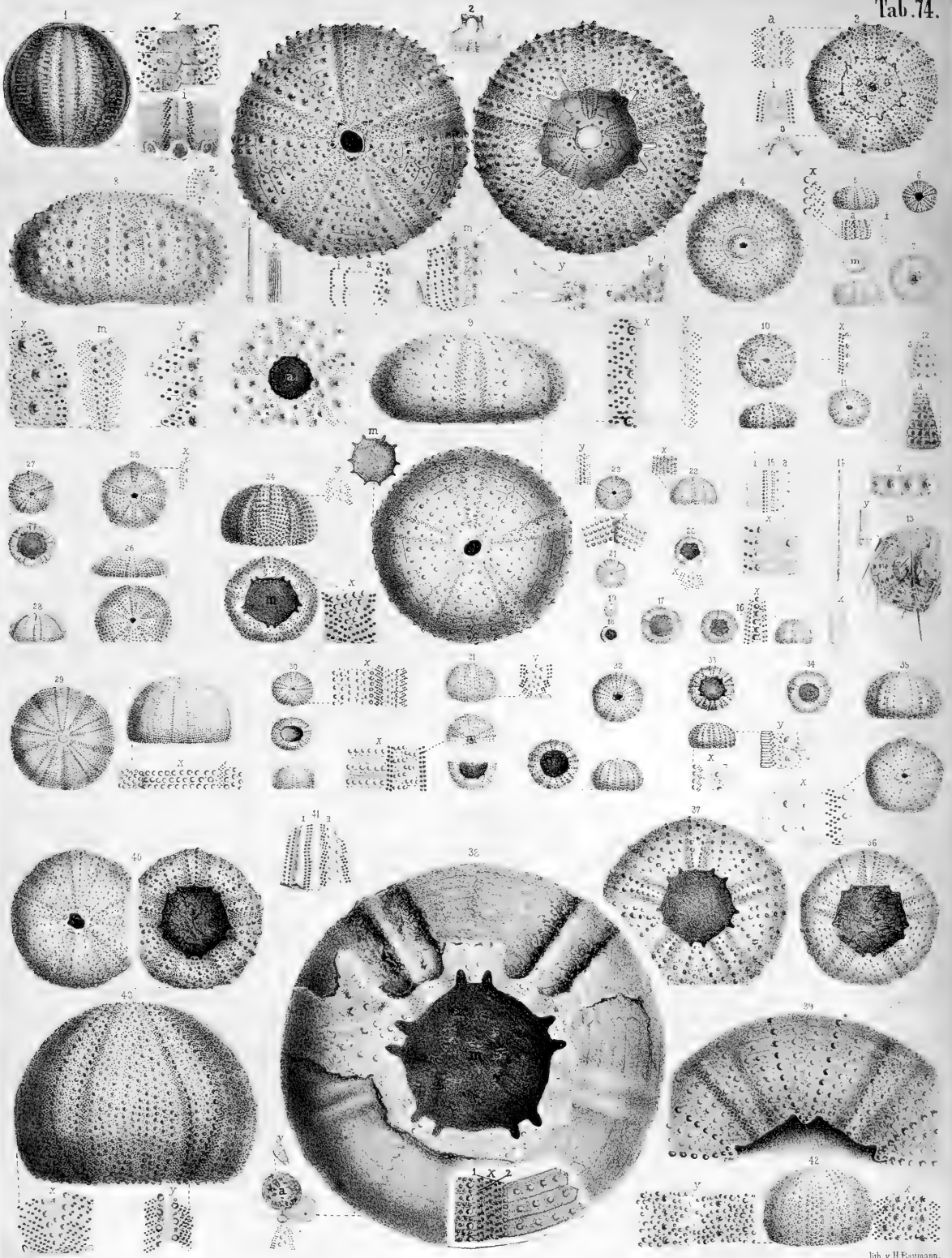
### Erklärung tab. 73.

- Fig. 1 Diadema cribrum pag. 330, Nummulithenkalk, Nizza.  
— 2 desgleichen pag. 330, daher, Porenasseln,  $\alpha$  vergrössert.  
— 3 desgleichen pag. 330, daher,  $\alpha$  vergrösserte Warzen mit Köpfchen.  
— 4 desgleichen pag. 331, daher mit Zwischenwarzen.  
— 5 Diadema cf. cribrum pag. 331, Nummulithenkalk, Montecchio maggiore.  
— 6 Heterodiadema Lybicum pag. 331, Kreide, Batna.  
— 7 desgleichen pag. 331, Aftorkreis, Copie nach Cotteau.  
— 8—10 Coelopleurus equis pag. 332, Nummulithenkalk, Biarritz.  
— 11 Coelopleurus Agassizi pag. 333, desgleichen, daher.  
— 12 Cidarites cf. pseudodiadema pag. 334, Eisenrogenstein, Schweiz.  
— 13 Cidarites pseudodiadema pag. 333, Terrain à chailles, Trouville.  
— 14 Echinus esculentus pag. 335, Mittelmeer, Kiefer.  
— 15 desgleichen pag. 335, daher, Laterne von oben.  
— 16 Echinus lineatus pag. 335, weisser Jura  $\epsilon$ , Nattheim, Laterne.  
— 17 desgleichen pag. 335, daher, Ohren.  
— 18 Echinus esculentus pag. 335, lebt an der Normannischen Küste.  
— 19 desgleichen pag. 336, daher.  
— 20 Echinus von Kehlheim pag. 337, Solnhofer Platten.  
— 21. 22 Cidaris metularia pag. 336, lebt im indischen Meer.  
— 23 Echinus esculentus pag. 340, Bruchstück mit Porenverlauf:  $i$  innen,  $a$  aussen;  $w$  weisse,  $s$  schwarze Borsten.  
— 24 Acrocladia pag. 339, indischer Ocean.  
— 25 Echinometra lucunter pag. 340, indischer Ocean.  
— 26 Echinometra mammillata pag. 341, Australien.  
— 27 Echinus trigonarius (Acrocladia) pag. 338, aus dem Diluvialsande von Bukarest.  
— 28 Acrocladia pag. 341, Stiller Ocean.  
— 29 Echinus cf. miliaris pag. 343, Chilenische Küste.  
— 30 Echinus lineatus pag. 337, Hochsträss.
-









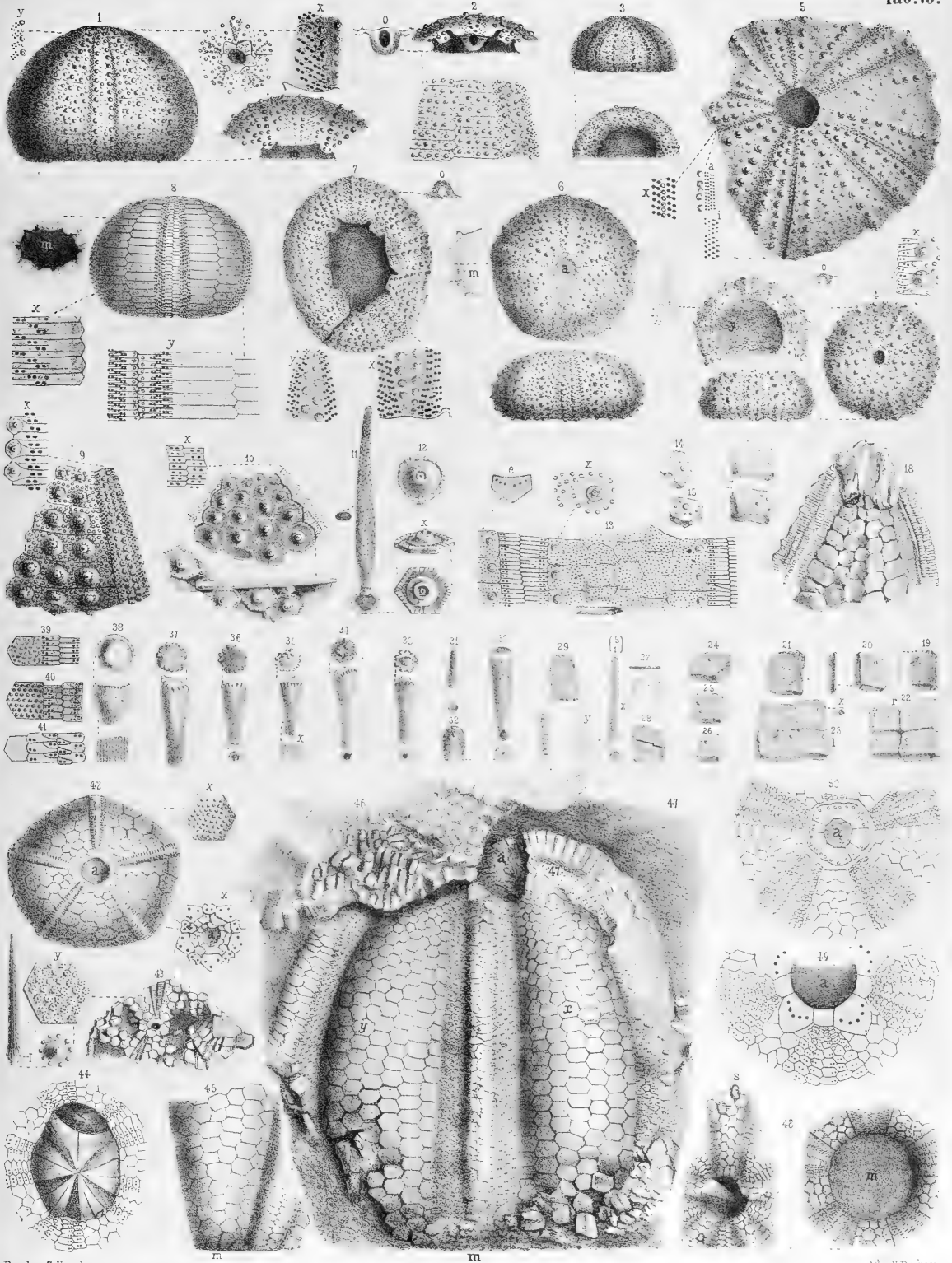


## Erklärung tab. 74.

- Fig. 1 Echinus globulus (Mespilia) pag. 343, lebend in warmen Meeren.  
— 2 Echinus pustulosus (Echinocidaris) pag. 345, lebend in warmen Meeren (Peru).  
— 3 Echinus miliaris (Psammechinus) pag. 345, lebend an der Normannischen Küste. Der grössere Mundkreis durch Linien angedeutet.  
— 4 Echinusmiliaris pag. 344, daher, von der Mundseite mit kleinerem Mundkreise.  
— 5. 6 desgleichen pag. 345, daher, Brut.  
— 7 Echinus dubius pag. 345, Molasse, la Chaux-de-Fonds, *a* After, *m* Mund.  
— 8 Echinus neglectus (Toxopneustes) pag. 347, lebend in der Nordsee.  
— 9 Pedina sublaevis pag. 348, Kiesnierenkalk, Birsthal.  
— 10. 11 Echinopsis Nattheimensis pag. 349, Weisser Jura  $\varepsilon$ , Nattheim.  
— 12. 13 Diademopsis Heerii pag. 350, unterer Lias  $\alpha$ , Schambelen.  
— 14 Stachel pag. 351, unterer Ornatenthon, Gammelshausen.  
— 15 Echinus microcephalus pag. 351, Weisser Jura  $\varepsilon$ , Oerlinger Thal.  
— 16—23 Echinus nodulosus  $\alpha$  pag. 352, Weisser Jura  $\alpha$ .  
— 24. 25 Echinus nodulosus  $\varepsilon$  pag. 354, Weisser Jura  $\varepsilon$ , Nattheim.  
— 26 desgleichen pag. 355, Weisser Jura  $\varepsilon$ , Wippingen.  
— 27 desgleichen pag. 355, Weisser Jura  $\varepsilon$ , Beinzingen.  
— 28. 29 Echinus punctatus pag. 355, Weisser Jura  $\varepsilon$ , Nattheim.  
— 30 Polycyphus nodulosus pag. 356, Grande Oolite, Ranville.  
— 31 Cottaldia Wiestii pag. 356, Chloritische Kreide, Chardstock.  
— 32 Echinus excavatus pag. 357, Weisser Jura  $\varepsilon$ , Engelhardsberg.  
— 33 desgleichen pag. 358, oberer Weisser Jura, Montecchio maggiore.  
— 34 Echinus cf. excavatus pag. 358, Eocen, Verona.  
— 35 Echinus bigranularis pag. 359, Parkinsonschicht, Port.  
— 36 desgleichen pag. 360, Bath Oolite, Metz.  
— 37 desgleichen pag. 360, Bath Oolite, Luc.  
— 38 Echinus lineatus pag. 360, Weisser Jura  $\varepsilon$ , Giengen: *a* After, *m* Mund, *x* etwas vergrösserter Porenlauf auf den Seiten; *y* Textilaria vergrössert.  
— 39 Echinus lineatus pag. 361, Weisser Jura  $\varepsilon$ , Nattheim.  
— 40 Echinus lineatus pag. 362, Weisser Jura  $\varepsilon$ , Nattheim.  
— 41 desgleichen pag. 362, daher: *a* aussen, *i* innen.  
— 42 Echin. lineatus var. pag. 362, Weisser Jura  $\varepsilon$ , Nattheim.  
— 43 Echinus lineatus pag. 363, Weisser Jura  $\varepsilon$ , Nattheim.

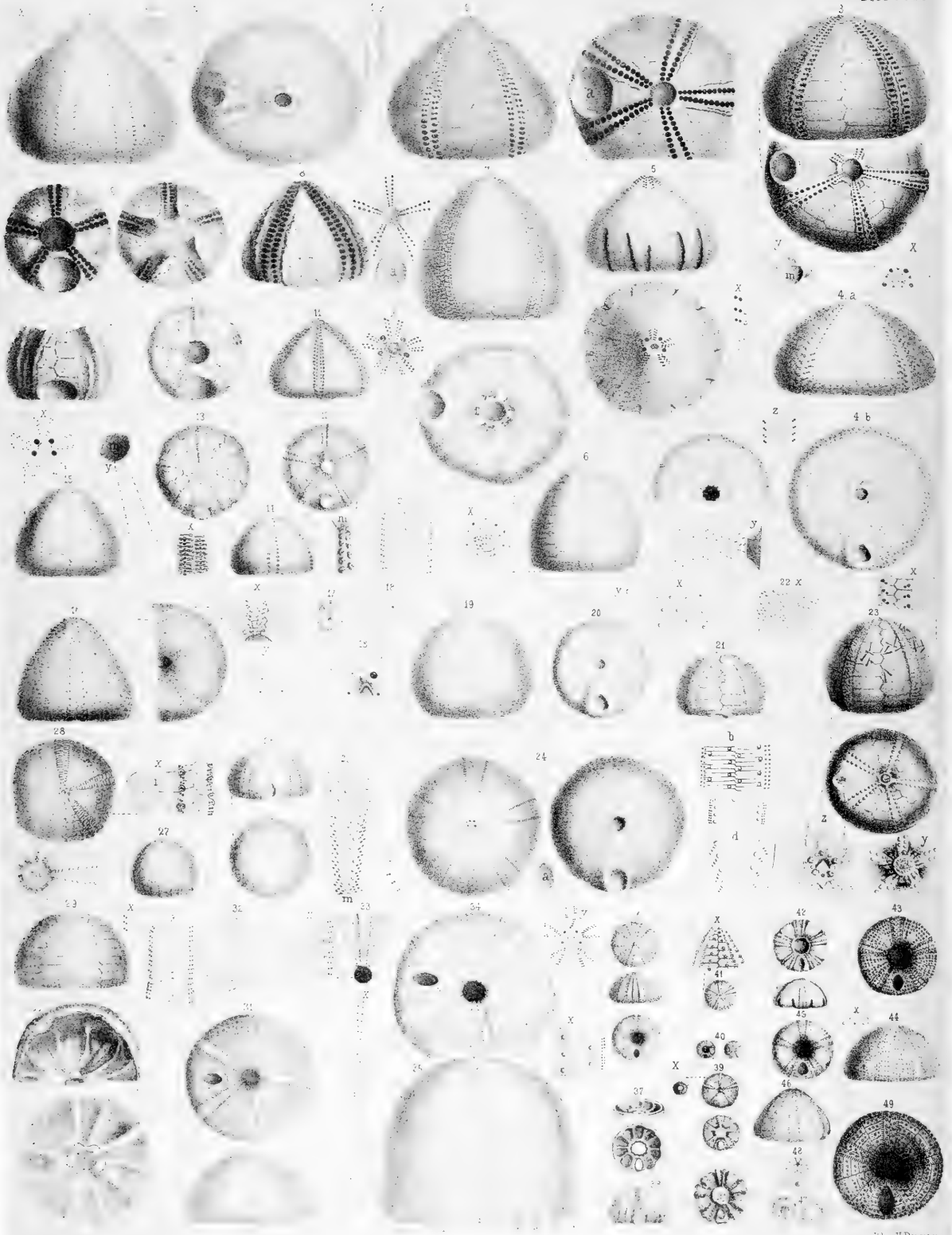
## Erklärung tab. 75.

- Fig. 1 Echinus perlatus pag. 363, Terrain à Chailles, Mont Terrible.  
— 2 desgleichen pag. 364, Terrain à Chailles, Birsthal.  
— 3 desgleichen pag. 365, daher, jung.  
— 4 Echinus Novionensis pag. 367, Grande Oolite Novion.  
— 5 Echinus alternans pag. 365, Weisser Jura z, Wippingen.  
— 6 desgleichen pag. 366, Weisser Jura z, Nattheim.  
— 7 desgleichen pag. 366, daher.  
— 8 Echinus rotundus pag. 367, Neocom, Codechinus.  
— 9 Heterocidaris Trigeri pag. 370, Oolite inférieure, Le Chevain, Copie.  
— 10 Archaeocidaris Wortheni pag. 372, St. Louis limestone, Missouri, Copie.  
— 11 Archaeoc. Agassizi pag. 373, Burlington Limestone, Copie; *x* vergrössert.  
— 12 Archaeoc. Rossicus pag. 373, jüngerer Bergkalk Mjatschkowa, Copie.  
— 13 Perischodonus biserialis pag. 374, Unterer Bergkalk, Wexford, Copie.  
— 14—17 Lepidocentrus Eifelianus pag. 374, Devon, Prüm.  
— 18 Palaechinus Rhenanus pag. 376, Grauwacke, Wipperfürth, Copie.  
— 19—21 Lepidocentrus Eifelianus pag. 375, Devon, Eifel.  
— 22, 23 desgleichen pag. 375, daher, vier Stück linke (*l*) und rechte (*r*) zusammengestellt.  
— 24—26 desgleichen pag. 376, daher, verschiedene Asseln.  
— 27 Eine besondere Platte pag. 376, daher.  
— 28 Platte mit darauffliegenden Stacheln pag. 376, daher.  
— 29 Platte mit Kerbrande pag. 376, daher.  
— 30—37 Palaeocidaris Rhenanus pag. 377, Devon, Eifel.  
— 38 Palaeocidaris pag. 378, zweifelhaft.  
— 39 Palaechinus elegans pag. 379, Kohlenkalk, Irland, Copie.  
— 40 Palaechinus gigas pag. 380, daher, Copie.  
— 41 Palaechinus Phillipsiac pag. 379, Caradocconglomerat, Malvern hills, Copie.  
— 42 Palechinus ellipticus pag. 380, Bergkalk, Irland, Copie.  
— 43 Pal. elegans pag. 380, Bergkalk, Copie.  
— 44 Melonites multipora pag. 382, Gebiss, Copie.  
— 45 desgleichen pag. 382, St. Louis.  
— 46, 47 desgleichen pag. 382, daher, zwei Exemplare 46 und 47 aufeinander.  
— 48 desgleichen pag. 382, daher, After- *a* und Mundseite *m*.  
— 49 desgleichen pag. 383, Copie nach Worthen.  
— 50 desgleichen pag. 383, Copie nach Römer.
-









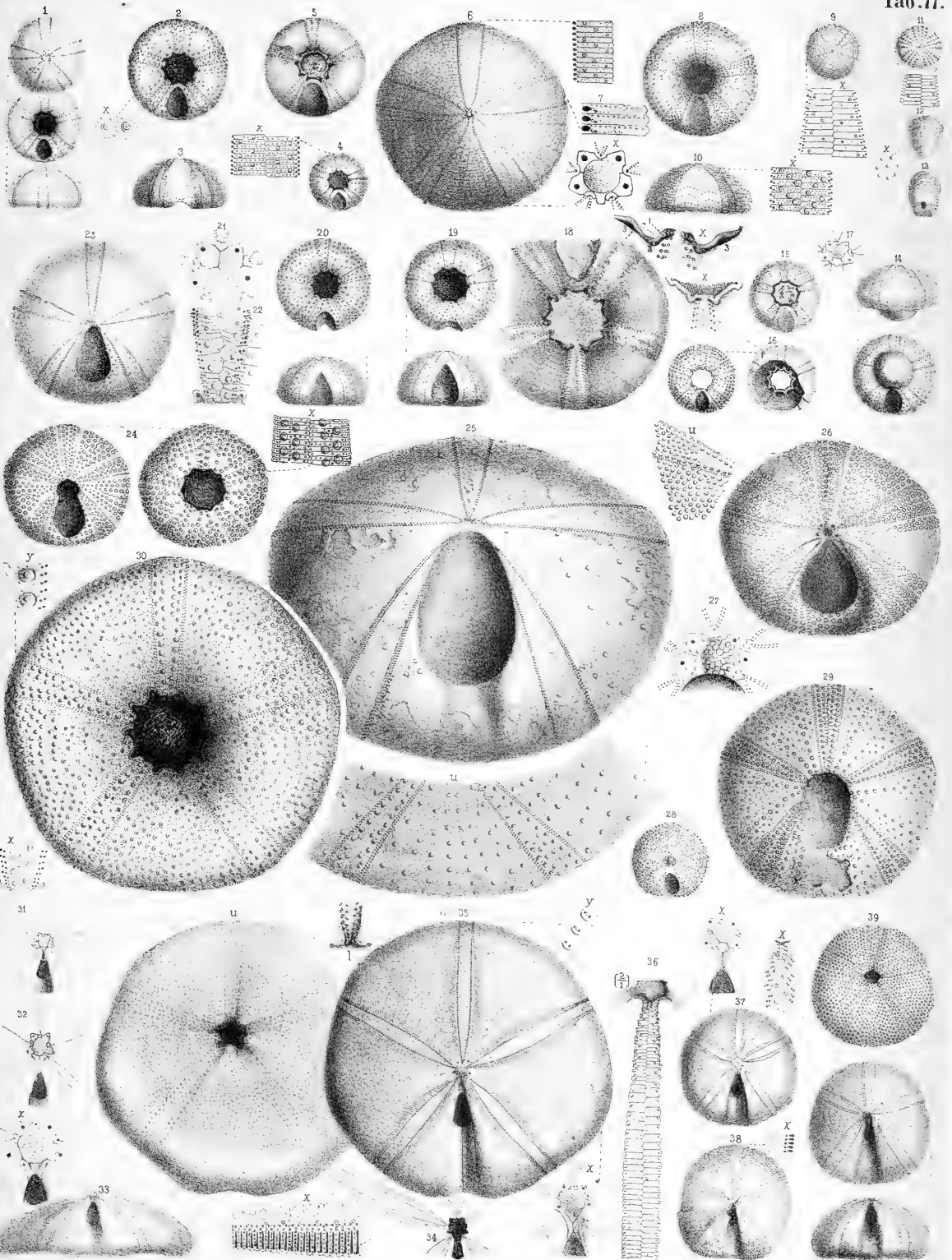
## Erklärung tab. 76.

- Fig. 1 Galerites vulgaris pag. 396, Weisse Kreide, Rügen.  
— 1. k desgleichen pag. 398, Kieferreste, Copie.  
— 2 desgleichen pag. 398, Kieselkern, Satow.  
— 3 Galerites abbreviatus pag. 398; Kieselkern, Satow.  
— 4 desgleichen pag. 399, Kalkschalen, Quitzin.  
— 5 desgleichen pag. 399, Geschiebe, Mecklenburg.  
— 6 Galerites albogalerus pag. 400, Weisse Kreide, England?  
— 7 desgleichen pag. 400, Feuersteinkern, St. Julien du Sault.  
— 8. 9 Galerites vulgaris pag. 402, Feuersteinkerne, Satow.  
— 10 desgleichen pag. 402, Feuersteinkern, Mark.  
— 11. 12 desgleichen pag. 403, Feuersteinkern, Satow.  
— 13 Galerites cf. abbreviatus pag. 403, Feuersteinkern, Satow.  
— 14 Galerites vulgaris pag. 404, Mecklenburg.  
— 15 desgleichen pag. 404, Kalkschale, Rederank.  
— 16 desgleichen pag. 404, Kreide, Proczowice.  
— 17 Caratomus rostratus pag. 405, Chloritische Kreide, Havre, Copie.  
— 18—21 Galerites Römeri pag. 405, Weisse Kreide, Lüneburg.  
— 22. x Caratomus hemisphaericus pag. 406, Weisse Kreide, Rügen, Stück vergrößerter Oberfläche.  
— 23 desgleichen pag. 407, Feuersteinkern, Mecklenburg.  
— 24 Galerites castanea pag. 408, Gault, Escragnolles.  
— 25—27 Galerites Rhotomagensis pag. 409, Chloritische Kreide, Chardstock.  
— 28 Galerites albogalerus pag. 410, Weisse Kreide, England.  
— 29 Galerites cylindricus pag. 413, Weisse Kreide, Lüneburg.  
— 30 desgleichen pag. 413, daher, Inneres.  
— 31 desgleichen pag. 413, daher, flachste Varietät.  
— 32. 33 desgleichen pag. 414, daher, Asseln mit Fühlerporen.  
— 34. 35 desgleichen pag. 412, Chloritische Kreide, Chardstock.  
— 36. 37 Galerites subuculus pag. 415, Grünsand, Essen.  
— 38 desgleichen pag. 415, Chloritische Kreide, Steinholz. Steinkern.  
— 39 desgleichen pag. 415, Kieselkern, Dieppe.  
— 40. 41 desgleichen pag. 416, Chloritische Kreide, Chardstock.  
— 42—45 Galerites Rotula pag. 416, Gault, Escragnolles.  
— 46 Galerites turritus pag. 417, Gault, Escragnolles.  
— 47 Galerites minimus pag. 417, Chloritische Kreide, Castellane.  
— 48 desgleichen pag. 418, After mit Tafelchen, Copie.  
— 49 Discoidea macropyga pag. 418, Neocom, St. Laurent.

## Erklärung tab. 77.

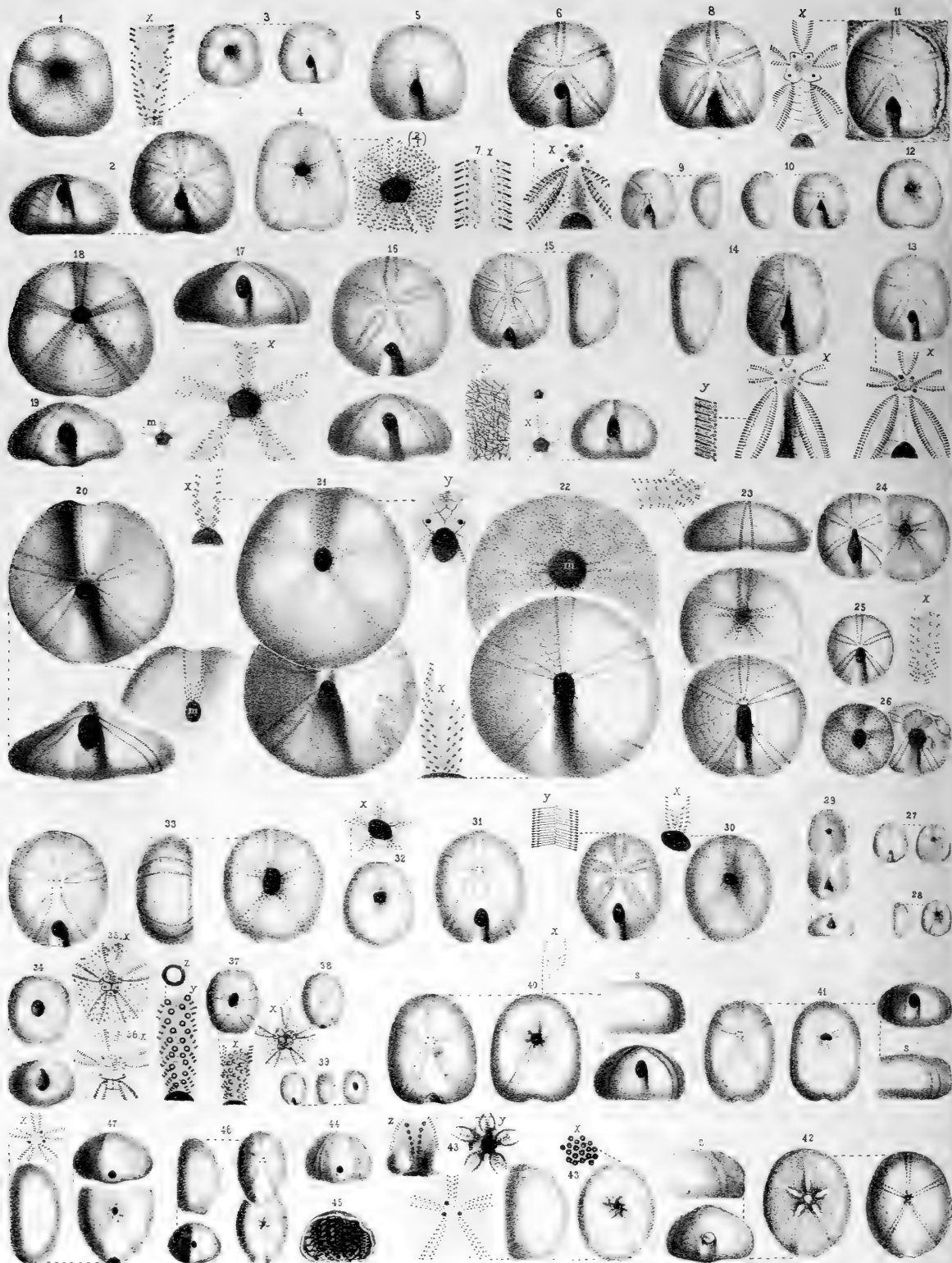
- Fig. 1 Galerites depressus pag. 420, Macrocephalusschicht, Achdorf; abgerieben.  
 — 2 desgleichen pag. 420, daher, Schale.  
 — 3 desgleichen pag. 421, Bathonien, Waldenburg, von hinten.  
 — 4 desgleichen pag. 421, Oberer Brauner Jura, Balin.  
 — 5 desgleichen pag. 421, Steinkern, Brauner Jura.  
 — 6 desgleichen pag. 421, Inferior Oolite, Dorset.  
 — 7 desgleichen pag. 421, Mamers, stark vergrösserte Porenplatte.  
 — 8. 9 Galerites Mandelslohi pag. 423, Weisser Jura  $\gamma$ , Tuttingen.  
 — 10 desgleichen pag. 423, Weisser Jura  $\gamma$ , Bopfingen.  
 — 11 Galerites pag. 424, Weisser Jura  $\delta$ , Bosler.  
 — 12 Disaster carinatus pag. 424, daher.  
 — 13 Disaster granulatus pag. 424, daher.  
 — 14 Galerites depressus corallinus pag. 425, Weisser Jura  $\varepsilon$ , Ebnat.  
 — 15 desgleichen pag. 425, Weisser Jura  $\varepsilon$ , Amberg.  
 — 16 desgleichen pag. 425, Terrain à Chailles, Winkel.  
 — 17 desgleichen pag. 426, Apex vergrössert, Heidenheim.  
 — 18 Holoctypus corallinus pag. 425, Terrain à Chailles, Druyes.  
 — 19 Galerites apertus pag. 427, Macrocephalusschicht, Gutnadingen.  
 — 20 Galerites hemisphaericus pag. 427, Inferioroolith, Dorset.  
 — 21 desgleichen pag. 427, daher, Apex.  
 — 22 desgleichen pag. 428, daher, Asseln mit Poren.  
 — 23 Pygaster umbrella pag. 430, Korallenkalk, Lützelthal.  
 — 24 Pygaster Gresslyi pag. 431, Corallien, Tonnerre.  
 — 25 Pygaster speciosus pag. 432, Weisser Jura  $\varepsilon$ , Nattheim.  
 — 26 Pygaster cf. patelliformis pag. 431, Oolith  $\varepsilon$ , Schnaitheim.  
 — 27 Pygaster truncatus pag. 433, Apex, Copie.  
 — 28 Anorthopygus orbicularis pag. 433, Kreideformation, Copie.  
 — 29. 30 Pygaster semisulcatus pag. 429, Pea Grit, Cheltenham.  
 — 31. 32 Nucleolites patella pag. 438, Great Oolite, Pfaffenheim.  
 — 33 desgleichen pag. 438, daher,  $x$  vergrösserter Apex.  
 — 34 desgleichen pag. 436, daher, Apex,  $x$  vergrössertes Blatt.  
 — 35 Nucleolites patella pag. 438, Grosseolith, Lahr;  $x$  Apex,  $l$  Lippe.  
 — 36 desgleichen pag. 437, Grosseolith, Lothringen, Fühlergang in doppelter Grösse.  
 — 37 Nuclolites clunicularis pag. 442, Eisenoolith, Hohenkarpfen.  
 — 38. 39 desgleichen pag. 442, Grosseolith, Lahr.









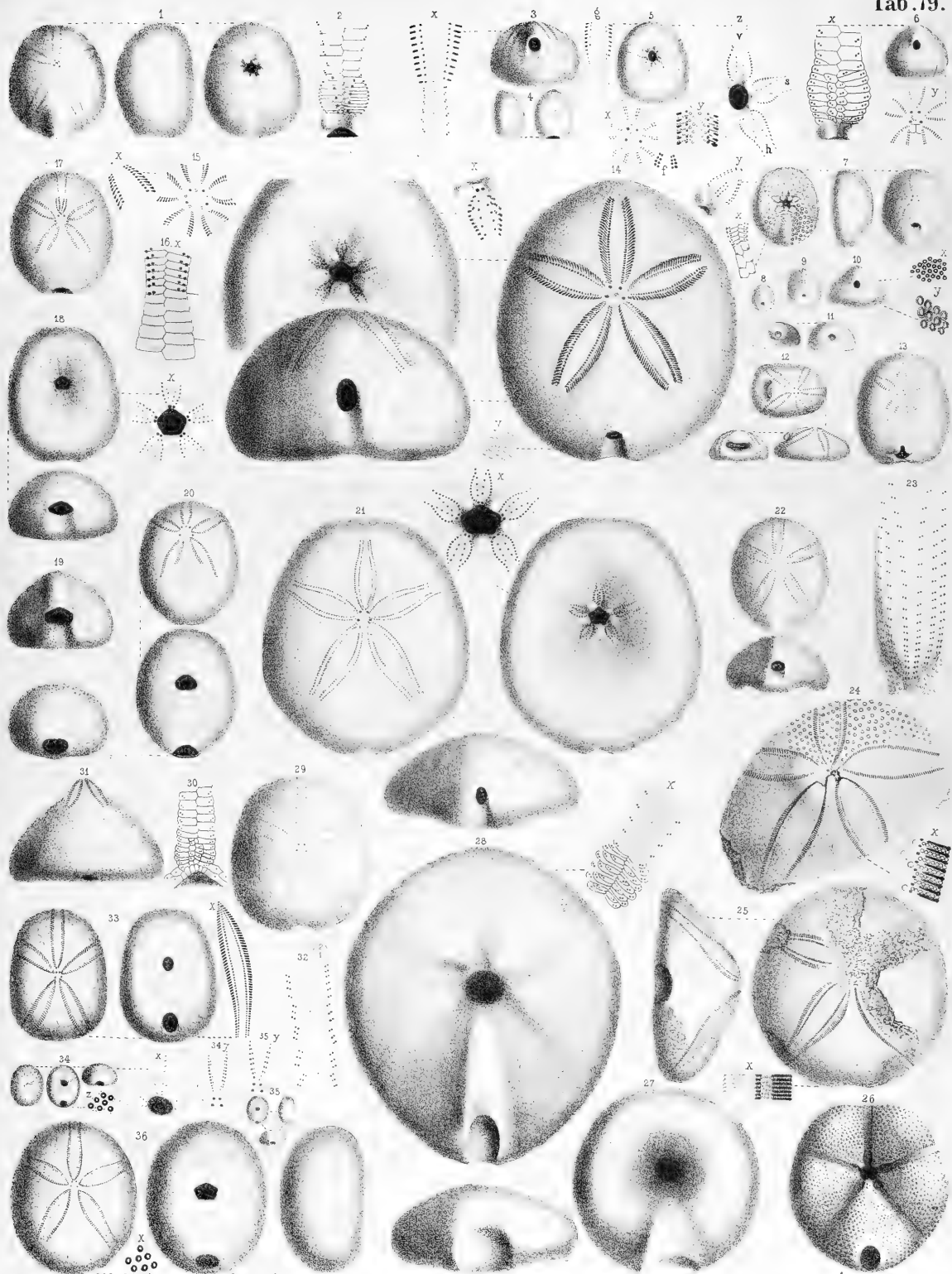


## Erklärung tab. 78.

- Fig. 1 Nucleolites scutatus pag. 443, Weisser Jura  $\epsilon$ , Mönkeberg.  
— 2 desgleichen pag. 444, Terrain à Chailles, Launoy.  
— 3 desgleichen pag. 444, Oxfordthon, Vaches noires.  
— 3.  $x$  desgleichen pag. 444, daher, Porenlauf am Munde.  
— 4 Nucleolites cf. elongatus pag. 444, Vaches noires, Oxfordthon.  
— 5. 6 Nucleolites scutatus pag. 444, daher.  
— 7 desgleichen pag. 445, Coralrag, Malton, vergrößert Stück vom Ambulacrallblatt.  
— 8 desgleichen pag. 444, daher.  
— 9 desgleichen pag. 445, Oolith, Ranville.  
— 10 Nucleolites clunicularis pag. 445, Oolith, Sarthe.  
— 11 Nucl. scutatus Suevicus pag. 445, Weisser Jura  $\epsilon$ , Schnaitheim.  
— 12 desgleichen pag. 445, daher.  
— 13 desgleichen pag. 446, Weisser Jura  $\epsilon$ , daher.  
— 14 Nucleolites cf. gracilis pag. 446, Eisenoolith, Stafelegg.  
— 15 Nucleolites cf. dimidiatus pag. 446, Terrain à Chailles, Winkel.  
— 15.  $y$  Kieselnadeln pag. 447, daher.  
— 16—19 Nucleolites Hugi pag. 448, oberer Brauner Jura, Schweiz.  
— 20 Nucleolites excisus pag. 448, oberer Brauner Jura, Hummel.  
— 21 Nucleolites gibberulus pag. 449, Oxford. infer., Mamers.  
— 22 Nucleolites decollatus pag. 450, Brauner Jura  $\beta$ , Lauffen.  
— 23 Nucleolites Schuleri pag. 452, Brauner Jura  $\beta$ , Wasseralfingen.  
— 24 Nucl. cf. Schuleri pag. 453, Sowerby-Bank, Gingen.  
— 25. 26 Nucl. cf. decollatus pag. 453, Brauner Jura  $\delta$   $\epsilon$ , Wasseralfingen.  
— 27. 28 Nucl. minimus pag. 454, Chloritische Kreide, Chardstock.  
— 29 Nucleolites trigonopyga pag. 454, daher.  
— 30 Nucleolites Olfersii pag. 455, Neocom, Champagne.  
— 31 desgleichen pag. 455, Hils, Berklingen.  
— 32 desgleichen pag. 455, Neocom, Neuchatel.  
— 33. 34 Pyrina pygaea pag. 456, Hilsconglomerat, Gross-Vahlberg.  
— 35.  $x$  desgleichen pag. 457, daher, vergrößerter Apex.  
— 36 desgleichen pag. 457, Hils, Berklingen: vergrößert  $x$  Apex,  $y$  Porenlauf,  $z$  Wärzchen.  
— 37—39 Nucleolites incisus pag. 457, chloritische Kreide, Chardstock.  
— 40 Nucleolites Duboisii pag. 458, Neocom, Bieler-See.  
— 41 Nucleolites ovulum pag. 459, Weisse Kreide, Tours.  
— 42 Nucleolites pyriformis pag. 460, Kieselkerne der Kreide von Achen.  
— 43. 44 desgleichen pag. 460, oberste Kreide, Maastricht.  
— 45 desgleichen pag. 461, daher, Inneres mit Kalkspathrhombodern.  
— 46 Nucl. pyriformis gracilis pag. 462, daher.  
— 47 Nucl. pyriformis Leskei pag. 462, daher.

## Erklärung tab. 79.

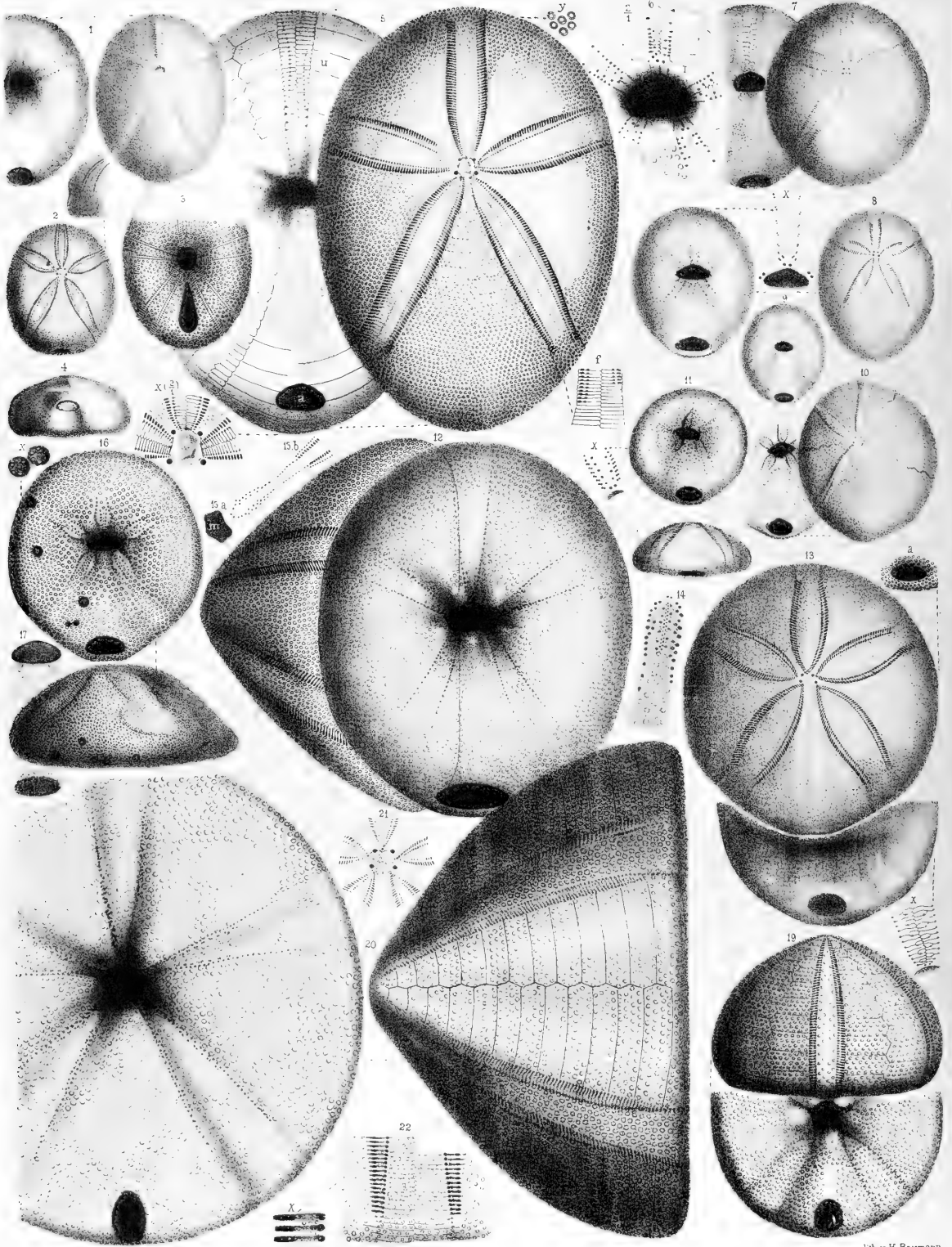
- Fig. 1 Nucleolites carinatus pag. 463, Chloritische Kreide, Vaches noires.  
— 2 desgleichen pag. 464, daher, Unterstück des vordern Fühlergangs vergrößert.  
— 3 desgleichen pag. 463, daher,  $x$  vergrößerter Fühlergang.  
— 4. 5 desgleichen pag. 464, Chloritische Kreide, Chardstock.  
— 6 desgleichen pag. 466, Tourtia, Essen.  
— 7 Cassidulus lapiscaneri pag. 467, oberste Kreide, Maastricht.  
— 8—11 desgleichen pag. 467, daher.  
— 12 Cassidulus Marmini pag. 468, daher, Copie.  
— 13 Cassidulus galeatus pag. 468, Senonien, Pyrenäen, verkleinerte Copie.  
— 14 Cassidulus scutella pag. 469, Nummulithenkalk, Verona.  
— 15 desgleichen pag. 470, daher, Apex.  
— 16.  $x$  desgleichen pag. 470, daher, vergrößertes Porenangstück auf der untern Grenze des Blattes.  
— 17—19 Cassidulus testudinarius pag. 472, Nummulithenkalk, Kressenberg.  
— 20 Cassidulus cf. ellipticus pag. 473, daher.  
— 21 Cassidulus Cuvieri pag. 470, daher.  
— 22 Cassidulus subcarinatus pag. 471, jüngeres Tertiär, Bünde.  
— 23 Pygurus Michelini pag. 474, Grande Oolite, Sarthe, Copie.  
— 24 Pygurus albojurensis pag. 475, Weisser Jura  $\epsilon$ , Nattheim.  
— 25 Pygurus cf. depressus pag. 475, Oberer Brauner Jura, Dorneck.  
— 26 Pygurus depressus pag. 476, Copie nach Desor.  
— 27 Clypeus suevicus pag. 476, Mittlerer Weisser Jura, Salmendingen.  
— 28 Galerites assulatus pag. 478, Diphyenkalk, Roveredo.  
— 29 Botriopygus testudo pag. 476, Neocom, Copie.  
— 30 Botriopygus Morloti pag. 477, Schrättenkalk, Glärnisch, Fühlergänge, Copie.  
— 31 Faujasia apicalis pag. 477, Oberste Kreide, Maastricht, Copie.  
— 32 Galerites assulatus pag. 479, Puchow, Porenstellung des vordern Fühlerganges.  
— 33 Pygaulus Desmoulinii pag. 480, Gault, Perte du Rhone.  
— 34 Pygaulus pulvinatus pag. 480, Chloritische Kreide, Chardstock.  
— 35 desgleichen pag. 481, daher, kleiner.  
— 36 Clypeaster ellipticus pag. 481, Nummulithenkalk, Verona.
-









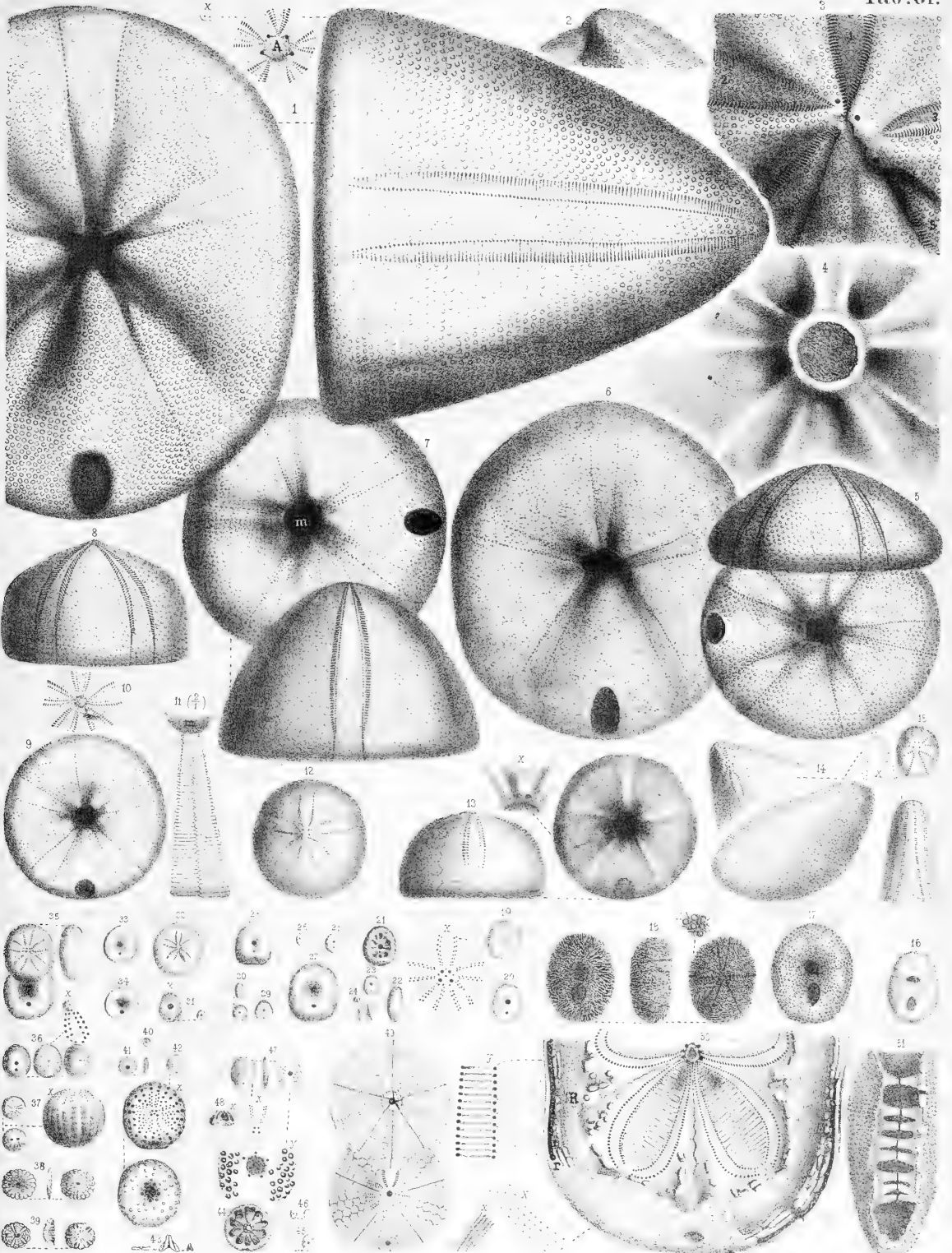


## Erklärung tab. 80.

- Fig. 1 Echinolampas ovatus pag. 485, Miliolitenkalk, Paris.  
— 2 Pygorhynchus Grignonensis pag. 484, Grobkalk, Copie.  
— 3 Amblypygus apheles pag. 484, Nummulithenkalk, Verona, Copie.  
— 4 Pygorhynchus Desorii pag. 485, Nummulithenkalk, Biarritz, Copie.  
— 5 Clypeaster politus pag. 486, Nummulithenkalk, Verona.  
— 6 desgleichen pag. 487, daher, Mund zweifach vergrößert.  
— 7 Clypeaster cf. affinis pag. 488, Nummulithenkalk, Zovizzo.  
— 8. 9 Echinolampas Mattseeensis pag. 489, Eocen, Mattsee.  
— 10. 11 Echinolampas affinis pag. 490, Grobkalk, Damery.  
— 12 Echinolampas medianus pag. 495, Nummulithenkalk, Kressenberg.  
— 13 Echinolampas Kleinii pag. 492, jungtertiär, Doberg.  
— 14 desgleichen pag. 492, vergrößertes Mundblatt, daher.  
— 15. a. b. desgleichen pag. 492, Fühlerporen von Innen, a Obertheil, b Untertheil, daher.  
— 16 desgleichen pag. 493, daher, krank.  
— 17 Echinolampas cf. Studeri pag. 494, Nummulithenkalk, Sonthofen, Mund und After.  
— 18 Echinolampas similis pag. 494, Nummulithenkalk, Verona.  
— 19 Conoclypus conoideus pag. 496, Nummulithenkalk, Kressenberg.  
— 20 desgleichen pag. 497, daher, erwachsen.  
— 21 desgleichen pag. 499, daher, Apex.  
— 22 desgleichen pag. 499, Nummulithenkalk, Verona, Stück des Unterrandes vom Ambulacrum, x vergrößert.
-

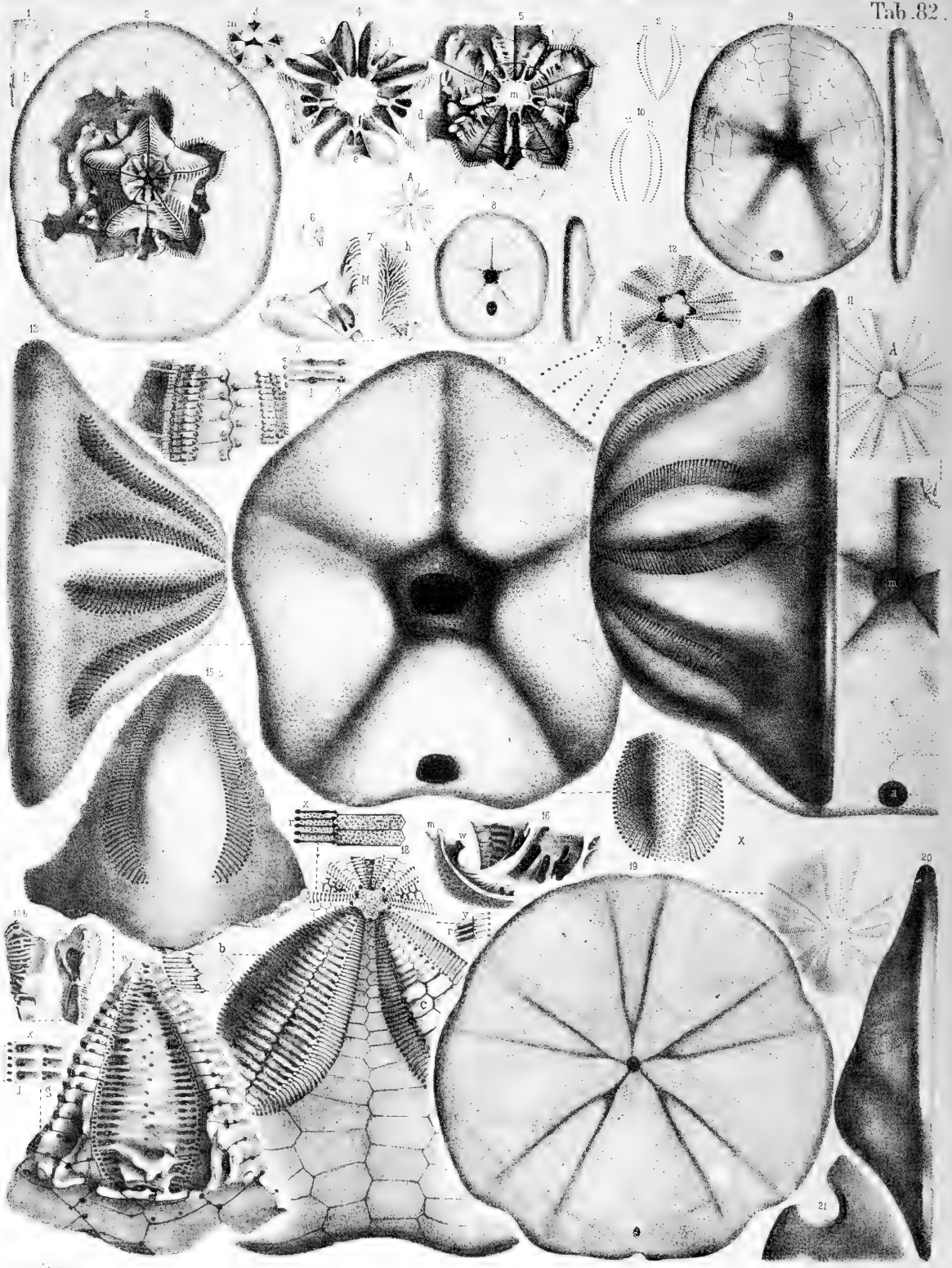
## Erklärung tab. S1.

- Fig. 1 Conoclypus conoideus ellipsobasalis pag. 502, Nummulithenkalk, Verona.  
 — 2 Conoclypus conoideus conioexcentricus pag. 502, Nummulithenkalk, Oberitalien, Copie der Spitze.  
 — 3 Conoclypus conoideus pag. 501, Nummulithenkalk, Kressenberg, Gipfel.  
 — 4 desgleichen pag. 500, Nummulithenkalk, Gichilina, Innenseite der Basis.  
 — 5 Clypeaster Bouci pag. 504, Nummulithenkalk, Kressenberg.  
 — 6 Clypeaster oopyge pag. 505, Nummulithenkalk, Kressenberg.  
 — 7 Conoclypus conoideus Algoviensis pag. 504, Eocen, Sonthofen.  
 — 8 Clypeaster subcylindricus pag. 507, Nummulithenkalk, Kressenberg.  
 — 9 desgleichen pag. 506, daher, Unterseite eines mittelgrossen.  
 — 10 desgleichen pag. 507, daher, Apex.  
 — 11 desgleichen pag. 506, daher, abgekratzter Fühlergang, 2fach vergrössert.  
 — 12 desgleichen pag. 507, daher, kleines Individuum, etwas verdrückt.  
 — 13 Clypeaster bipunctatus pag. 507, gelber Steinkern.  
 — 14 Archiacia sandalina pag. 508, Chloritische Kreide, Fourras, Copie.  
 — 15 Archiacia cornuta pag. 508, Kreide, Sinai, Copie.  
 — 16 Echinoneus cyclostomus pag. 511, lebend, Copie nach Saba.  
 — 17 desgleichen pag. 511, lebend, Copie nach Desor.  
 — 18 Echinoneus ovalis pag. 511, lebend, Barbadoes.  
 — 19—22 Fibularia minuta pag. 512, lebend in der Nordsee.  
 — 23 Fibularia pusilla pag. 513, lebt an der norwegischen Küste.  
 — 24 Fibularia minuta pag. 513, lebend, ein Zahn.  
 — 25. 26 Echinoneus ovatus pag. 514, jungtertiär, Astrupp, Copie.  
 — 27 Echinoneus scutatus pag. 514, jungtertiär, Bünde, Copie.  
 — 28 Echinoneus placenta pag. 514, oberste Kreide, Maastricht, Copie.  
 — 29. 30 Echinoneus minutus pag. 514, Maastricht?  
 — 31 Fibularien-Brut pag. 514, Miliolithenkalk, Paris.  
 — 32. 33 Fibularia rosacea pag. 515, Nummulithenkalk, Priabona.  
 — 34 desgleichen pag. 515, Nummulithenkalk, Monti Berici.  
 — 35 Fibularia occitana pag. 515, Grobkalk, Paris.  
 — 36 Fibularia ovulum pag. 516, lebend.  
 — 37 Fibularia nucleus-cerasi pag. 517, lebend, Copie.  
 — 38 Moulinsia cassidulina pag. 517, lebend, Martinique, Copie.  
 — 39 Runa Comptoni pag. 517, jungtertiär, Palermo, Copie.  
 — 40—42 Fibularia nummularia pag. 518, Grobkalk, Grignon.  
 — 43 Kiefer pag. 519 von demselben, Copie.  
 — 44 Scutella lenticularis pag. 519, Grobkalk, Grignon, Copie.  
 — 45—48 Fibularia patellaris pag. 519, Grobkalk, Paris.  
 — 49 Arachnoides placenta pag. 521, lebend in Australien.  
 — 50 Clypeaster rosaceus pag. 527, lebend, Inneres des Hintertheils der Oberseite;  $x$  vergrösserte Porenreihen oben von der Innenseite.  
 — 51 desgleichen pag. 527, zerbrochener Seitenrand, um die Kalksäulen zu zeigen.









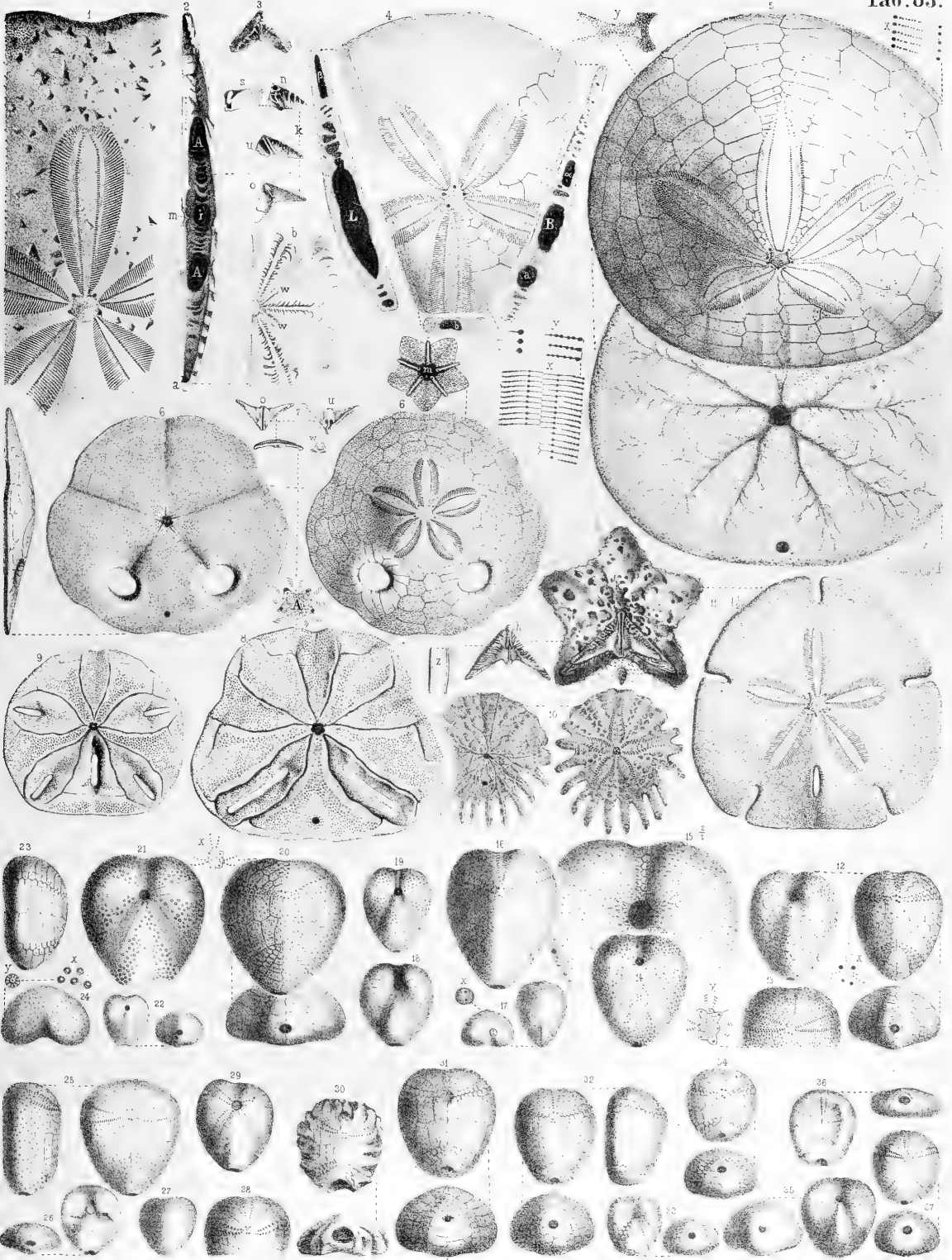


## Erklärung tab. 82.

- Fig. 1 Clypeaster rosaceus pag. 529, lebt im indischen Meere: Zahn von drei Ansichten.  
— 2 desgleichen pag. 529, Laterne von oben bloßgelegt.  
— 3 desgleichen pag. 529, vergrößerte Zähne im Munde *m*.  
— 4 desgleichen pag. 530, Laternenstück von der Unterseite.  
— 5 desgleichen pag. 530, Innenseite des Mundes *m*, nach weggenommener Laterne.  
— 6 desgleichen pag. 529, Ergänzungsstück von der Laterne.  
— 7 desgleichen pag. 529, Laternenstück: *h* Harmoniefläche, der *M* entsprechend, welche in der Medianebene liegt.  
— 8 Laganum Bonani pag. 531, lebend, *A* Apex.  
— 9 Clypeaster scutiformis pag. 531, Alttertiär, Monti Berici.  
— 10 desgleichen pag. 532, Alttertiär, Priabona, Stück eines Blumenblatts.  
— 11 Clypeaster altus campanulatus pag. 538, Tertiär, Monza: *m* Mund, *a* After, *A* Apex.  
— 12 Clypeaster grandiflorus pag. 540, Gipfel einer Blume, Leithakalk, Kalksburg.  
— 13 Clypeaster altus conicus pag. 534, Wien?  
— 14 desgleichen pag. 537, Steinkern, Selowitz, Stück eines Blumenblatts.  
— 15 Clypeaster Egyptiacus pag. 535, Alttertiär, Egypten, Ambulacrum von innen *i* und aussen *a*.  
— 16 desgleichen pag. 535, daher, Mundende eines Ambulacralstücks, Copie.  
— 17 desgleichen pag. 538, daher, Hälfte eines Hauptstücks der Laterne.  
— 18 Clypeaster grandiflorus pag. 540, Leithakalk, Rietzing.  
— 19 Scutella Vindobonensis pag. 542, Leithakalk, isabellgelb, Rietzing?  
— 20 desgleichen pag. 542, daher, Seitenansicht.  
— 21 desgleichen pag. 543, daher, Stück mit einer tiefen Bucht, die nur ein einziges Mal seitlich vorn links auftritt.
-

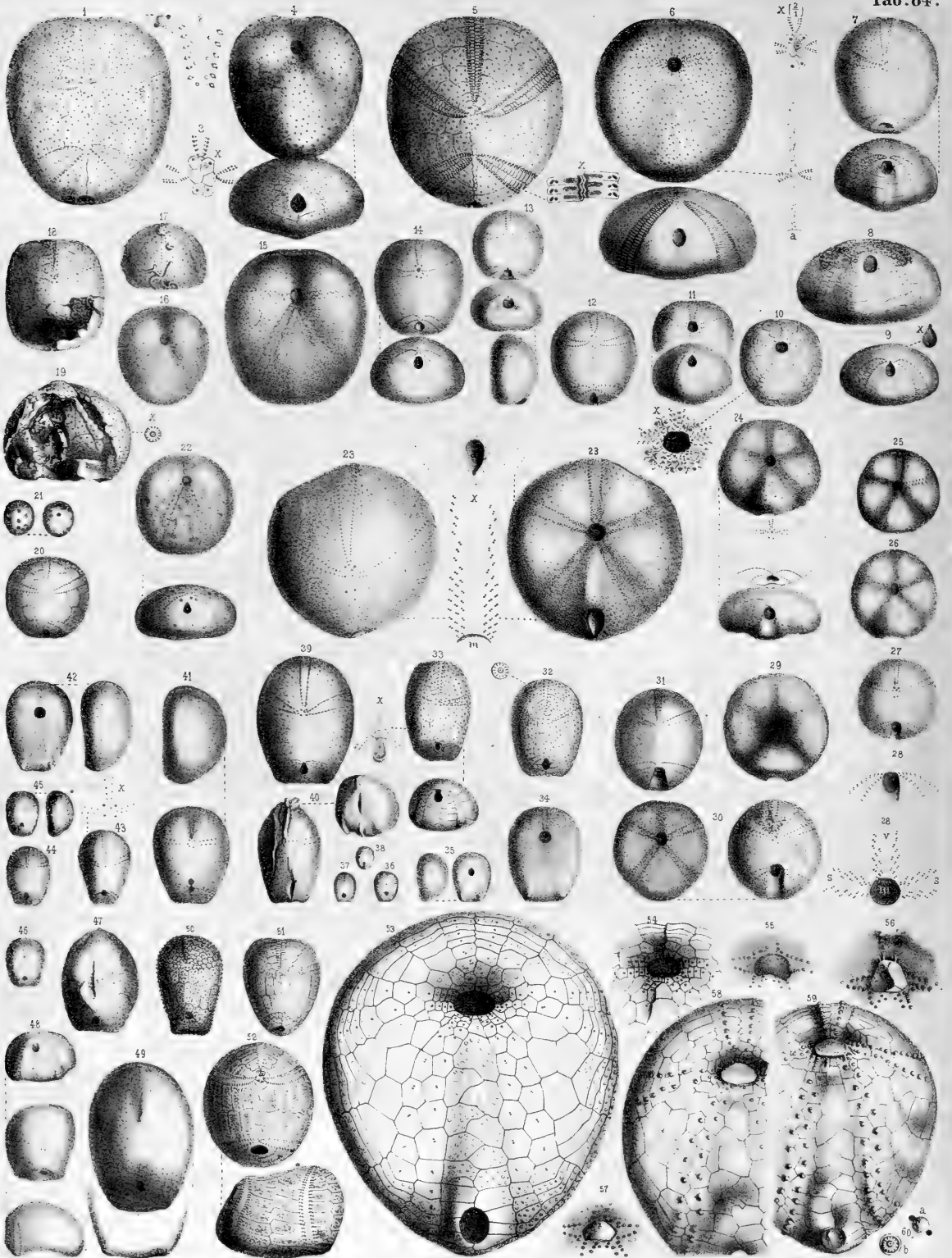
## Erklärung tab. 83.

- Fig. 1 Scutella Vindobonensis pag. 543, Neogen, Kalksburg.  
 — 2 Scutella subrotunda pag. 544, Miocen, Bordeaux: *a* Querschnitt; *b* Mundfläche von innen; *k* Kieferstücke.  
 — 3 desgleichen pag. 545, Miocen, Kiefer von unten, Copie.  
 — 4 Scutella cf. Brongniarti pag. 545, Eocen, Verona.  
 — 5 Scutella excentrica pag. 547, lebend, Stiller Ocean.  
 — 6 Amphiope bioculata pag. 549, Miocen, Meeresmolasse, Dischingen.  
 — 7 Lobophora bifora pag. 550, lebend, Kieferstück: *u* Unter-; *o* Oberseite; *w* Wirbel.  
 — 8 desgleichen pag. 550, von unten, *A* vergrößerter Apex.  
 — 9 Mellita quinquefora pag. 550, lebend, Texasküste.  
 — 10 Rotula Rumphii pag. 553, lebend, Copie.  
 — 11 Encope emarginata pag. 551, lebend, Antillen, halbe Grösse.  
 — 12 Disaster carinatus pag. 559, Weisser Jura  $\gamma$ , Schwäbische Alp.  
 — 13 desgleichen pag. 560, Weisser Jura  $\delta$ , Alp, *x* vergrößerter Apex.  
 — 14 desgleichen pag. 561, Oberster Weisser  $\gamma$ , Tuttlingen.  
 — 15 desgleichen pag. 561, zweifach vergrößert.  
 — 16 desgleichen pag. 562, Weisser Jura  $\gamma$ , Salmendingen.  
 — 17 desgleichen pag. 562, Weisser Jura, kranke Poren, *x* vergrößert.  
 — 18 desgleichen pag. 562, daher.  
 — 19 desgleichen pag. 562, Weisser Jura  $\gamma$ , Bosler.  
 — 20 desgleichen pag. 562, Mittlerer Weisser Jura.  
 — 21 desgleichen pag. 563, Mittlerer Weisser Jura, Heidenstadt.  
 — 22 Disaster carinatus  $\varepsilon$  pag. 563, Weisser Jura  $\varepsilon$ , Ehrenstein.  
 — 23 Disaster carinatus pag. 563, Seitenansicht, Normalform.  
 — 24 desgleichen pag. 563, Vorderansicht.  
 — 25 Disaster cf. capistratus pag. 564, Mittlerer Weisser Jura.  
 — 26 Disaster carinatus pag. 564, Weisser Jura  $\varepsilon$ , Nattheim.  
 — 27—29 desgleichen pag. 564, Weisser Jura  $\varepsilon$ , Krumbach.  
 — 30 desgleichen pag. 564, daher, verdrückt.  
 — 31 Disaster platypygus pag. 565, Weisser Jura.  
 — 32 desgleichen pag. 565, Weisser Jura.  
 — 33 desgleichen pag. 565, Weisser Jura  $\alpha$ , Boll.  
 — 34 desgleichen pag. 566, daher.  
 — 35 Disaster capistratus pag. 566, Brauner Jura  $\zeta$ , Margarethhausen.  
 — 36 Disaster siliceus pag. 566, Weisser Jura  $\varepsilon$ , Nattheim, verdrückt.  
 — 37 desgleichen pag. 566, daher.









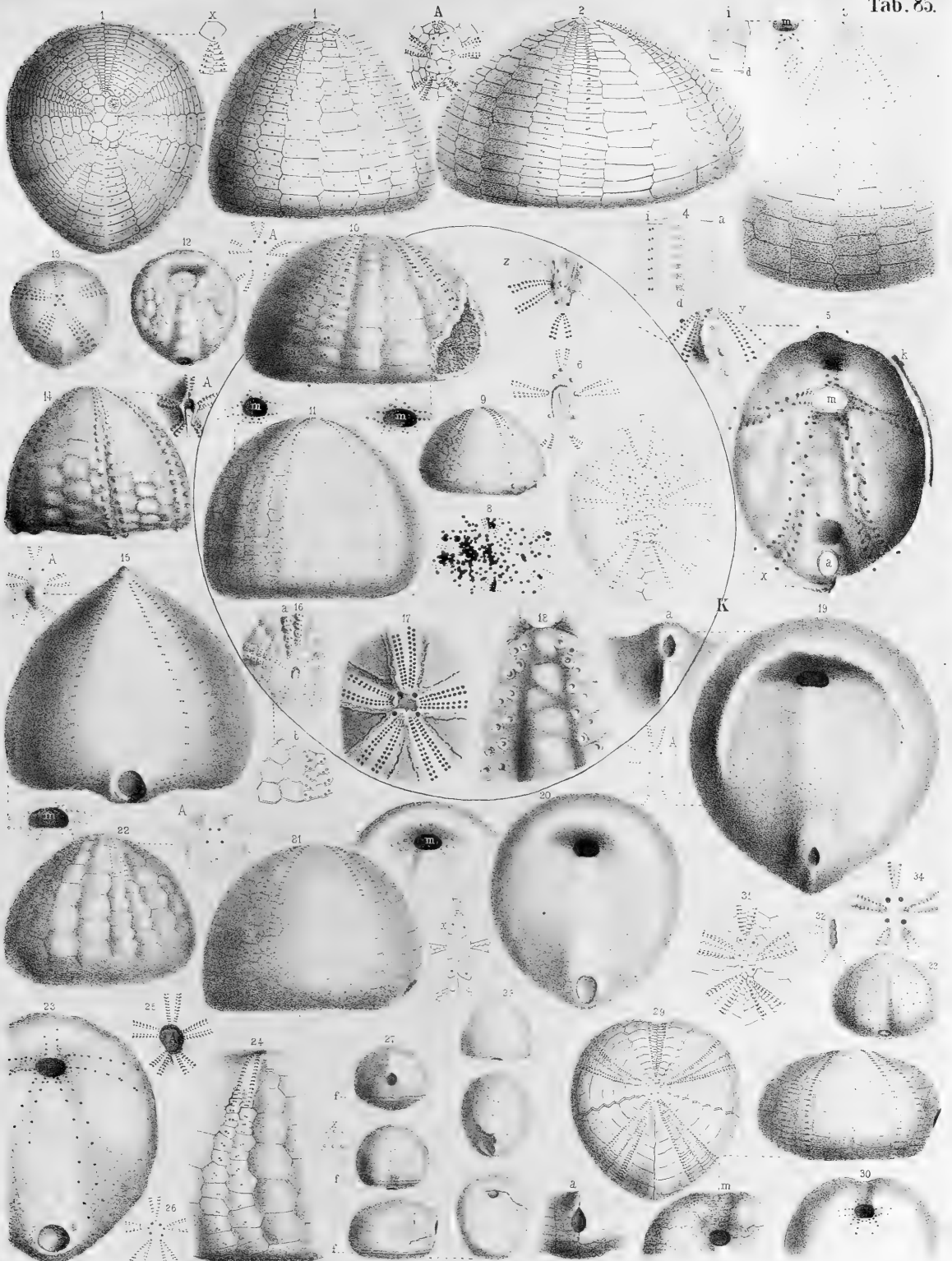
## Erklärung tab. 84.

- Fig. 1 Disaster bicordatus pag. 568, Terrain à Chailles, Mont Terrible.  
 — 2 desgleichen pag. 568, Terrain à Chailles, Fringeli: vergrösserte Poren des vordern Fühlerganges.  
 — 3 desgleichen pag. 569, Terr. à Chailles, Kl.Lützel: vergrösserte Genitalplatten.  
 — 4 desgleichen pag. 568, Terr. à Chailles, Fringeli.  
 — 5 Disaster ellipticus pag. 569, Kelloway, Sarthe,  $\alpha$  Stück vergrösserten Fühlerganges.  
 — 6 desgleichen pag. 570, daher,  $\alpha$  zweifach vergrösserte Zwickelplatten.  
 — 7 Disaster ovalis pag. 571, Brauner Jura  $\varepsilon$ , Egg.  
 — 8 desgleichen pag. 572, daher, grosses Exemplar.  
 — 9 desgleichen pag. 572, daher, niedrige Varietät.  
 — 10 Disaster ovalis var. pag. 572, Oberer Brauner Jura, Balu,  $\alpha$  vergrösserte Mundporen.  
 — 11 desgleichen pag. 572, daher.  
 — 12 desgleichen pag. 572, daher.  
 — 13 Disaster Avellana pag. 573, Polypenkalk, Ranville.  
 — 14 Disaster ovalis pag. 573, Macrocephalus-schicht, Achdorf.  
 — 15 desgleichen pag. 573, daher.  
 — 16 desgleichen pag. 573, Macrocephalusoolith, Fuezen.  
 — 17—19 Disaster cf. ovalis pag. 574, Ornatenthon, Gammelshausen.  
 — 20—22 Disaster ov. macrocephali pag. 574, Macrocephalusoolith, Gutmadingen.  
 — 23 Disaster Voltzii pag. 575, Oberer Jura, Provence.  
 — 24 Disaster ringens pag. 576, Macrocephalusoolith, Achdorf.  
 — 25 desgleichen pag. 577, Brauner Jura  $\varepsilon$ , Geyern.  
 — 26 desgleichen pag. 577, Brauner Jura  $\delta$ , Röthfilduh.  
 — 27 desgleichen pag. 577, daher, Afteransicht vergrössert.  
 — 28 desgleichen pag. 577, daher, vergrösserter Mund,  $v$  vorn,  $s$  seitlich.  
 — 29 Disaster cf. ringens pag. 578, rother Klippenkalk, Puchow.  
 — 30 Disaster canaliculatus pag. 578, Brauner Jura  $\delta$ , Wasseralfingen.  
 — 31 Disaster cf. canaliculatus pag. 578, Oberer Brauner Jura, Hummel.  
 — 32 Disaster granulatus pag. 579, Weisser Jura  $\alpha$ , Alp.  
 — 33 desgleichen pag. 580, daher,  $\alpha$  vergrösserter After.  
 — 34 desgleichen pag. 580, daher, Unterseite.  
 — 35. 36 Disaster granulatus pag. 580, unterster Weisser Jura  $\alpha$ , Böllert.  
 — 37. 38 desgleichen pag. 580, Brut, unterer Weisser Jura, Ries.  
 — 39 Disaster granulatus pag. 581, Weisser Jura  $\alpha$ , Bopfingen.  
 — 40 Disaster cf. granulatus pag. 581, Macrocephalusoolith, Gutmadingen.  
 — 41 Disaster granul. inflatus pag. 581, Weisser Jura  $\gamma$ , Salmendingen.  
 — 42 Disaster granulatus  $\varepsilon$  pag. 582, Weisser Jura  $\varepsilon$ , Alp.  
 — 43 Disaster granul. angustus pag. 582, Weisser Jura  $\varepsilon$ , Ehrenstein.  
 — 44 Disaster granulatus pag. 582, mittlerer Weisser Jura, Bopfingen.  
 — 45 desgleichen pag. 582, Weisser Jura  $\gamma$ , Alp.  
 — 46 Disaster granulatus pag. 582, Weisser Jura  $\varepsilon$ , Nattheim.  
 — 47. 48 desgleichen pag. 582, Weisser Jura  $\zeta$ , Sigmaringen.  
 — 49 Disaster anasteroides pag. 583, Neocom, Südfrankreich.  
 — 50 Disaster subelongatus pag. 584, Neocom, Copie.  
 — 51 Disaster oblongus pag. 584, Neocom, Copie.  
 — 52 Metaporhinus Sarthacensis pag. 585, Forestmarble, Copie.  
 — 53 Ananchites ovatus pag. 589, Pläner, Lemförde. Nicht durch den Spiegel gezeichnet. Auch die einfachen Punkte bedeuten natürlich Doppelpunkte, da es schwer hält, solche feinen Sachen bestimmt zu geben.  
 — 54 desgleichen pag. 589, Pläner, Lemberg, nicht durch den Spiegel gezeichnet; dasselbe tab. 85 fig. 2 von der Seite.  
 — 55 desgleichen pag. 589, Weisse Kreide, Meudon. Nicht durch den Spiegel gezeichnet.  
 — 56 desgleichen pag. 591, Feuersteinkern, Kröplin, nicht durch den Spiegel gezeichnet.  
 — 57 desgleichen pag. 589, Weisse Kreide, Rügen, durch den Spiegel gezeichnet.  
 — 58. 59 desgleichen pag. 590, Feuersteinkern, Mecklenburg, nicht durch den Spiegel gezeichnet.  
 — 60 desgleichen pag. 588, vergrössert:  $a$  Schlauchwärtchen,  $b$  Stachelwärtchen.

## Erklärung tab. 85.

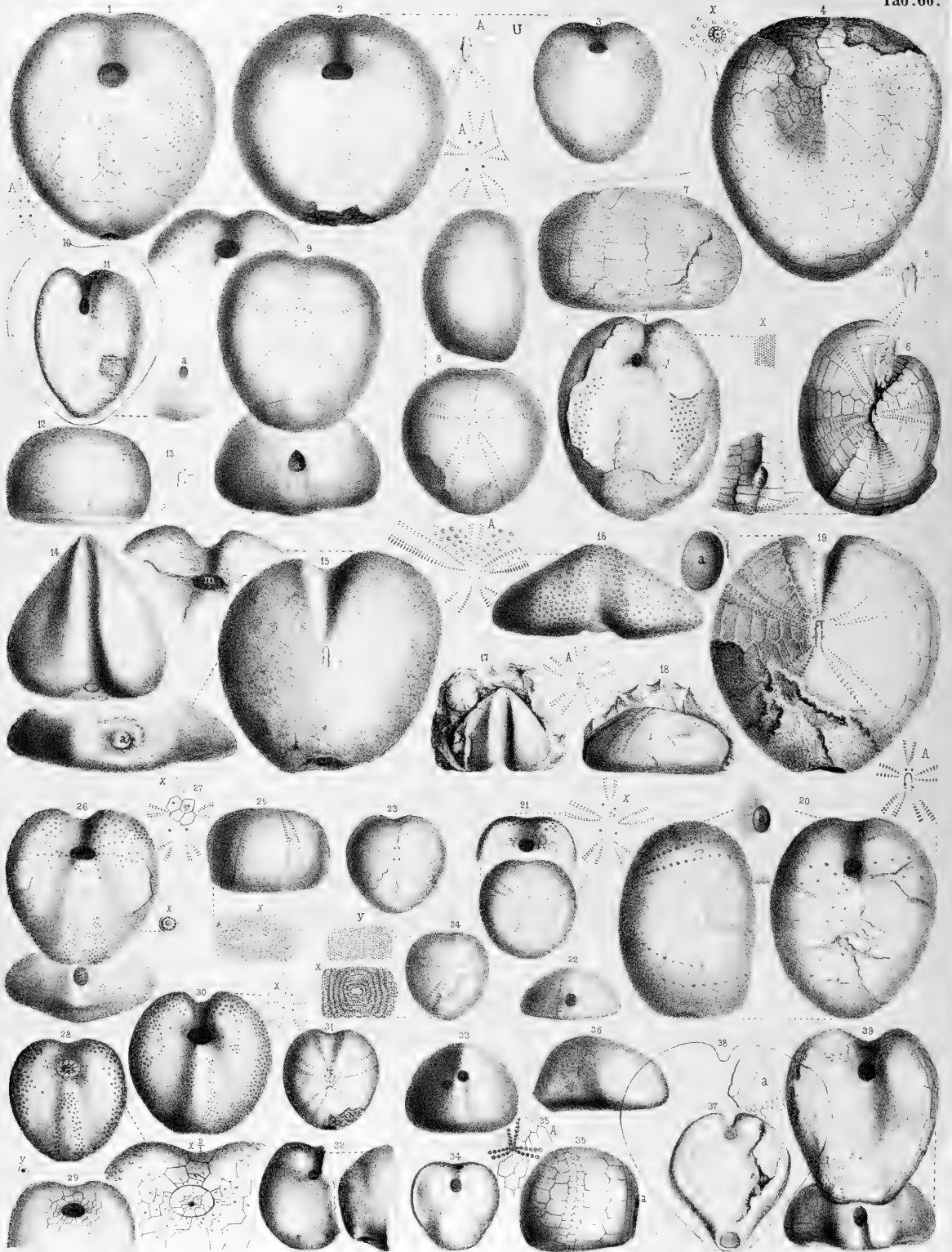
- Fig. 1 Ananchites gibba pag. 591, Weisse Kreide, Yonne.  
 — 2 Ananchites ovatus pag. 591, Pläner, Lemberg.  
 — 3 Ananchites assulatus pag. 592, Weisse Kreide, Lüneburg: *i* Asseln von der Innenseite, *m* Mund.  
 — 4 Ananchites ovatus pag. 593, Weisse Kreide, Surrey: *i* innen, *a* aussen, *d* Dicke der Schale.  
 — 5 desgleichen pag. 593, Weisse Kreide, Meudon: von innen, *z* Scheitel, *x* Löcher von Vio.  
 — 6 desgleichen pag. 594, Steinkern, Satow, Abdruck des Apex.  
 — 7 desgleichen pag. 594, Weisse Kreide, Rügen, Apex mit angebohrten Löchern, äusserer Umriss halbe natürliche Grösse.  
 — 8 desgleichen pag. 594, daher, von Vio Ananchitis angebohrt.  
 — 9 Ananchites nodosus pag. 595, Kreideformation, Satow.  
 — 10 Ananchites sulcatus pag. 597, Kreide, Satow; *m* Mund, *A* Apex.  
 — 11 Ananchites striatus pag. 598, Kreide, Rügen; *m* Mund nicht durch den Spiegel gezeichnet.  
 — 12 Ananchites cf. sulcatus pag. 596, Steinkern, Mecklenburg.  
 — 13 Galeola papillosa pag. 595, Steinkern, Mark.  
 — 14 Ananchites modicus pag. 596, Steinkern, Mecklenburg, *A* Apex.  
 — 15 Ananchites perconicus pag. 599, Weisse Kreide, Rügen, *A* Apex, *m* Mund.  
 — 16 Ananchites cf. perconicus pag. 599, Feuerstein, Lüneburg.  
 — 17 Ananchites acuminatus pag. 599, Steinkern, Kröplin.  
 — 18 Ananchites pustulosus pag. 597, Steinkern, Lüneburg.  
 — 19 Ananchites acuminatus pag. 598, Pläner, Neinstedt, *A* Apex.  
 — 20 Ananchites ovatus pag. 601, Weisse Kreide, Lüneburg.  
 — 21 Ananchites gibba pag. 601, daher, *m* Mundseite.  
 — 22 Ananchites tuberculatus pag. 601, Scaglia, Oberitalien, *A* Apex.  
 — 23 desgleichen pag. 602, Scaglia, Chiampo.  
 — 24 desgleichen pag. 603, daher, Stück der Asselreihen.  
 — 25 desgleichen pag. 603, daher, Apex mit ausgefallenen Plättchen.  
 — 26 desgleichen pag. 603, daher, Apex eines kleinen.  
 — 27 Ananchites pillula pag. 606, Kreide, Lüneburg: *x* vergrösserte Fasciole.  
 — 28 desgleichen pag. 607, Weisse Kreide, Meudon: *x* Copie nach Orbigny.  
 — 29 Holaster subglobosus pag. 608, Chloritische Kreide, Chardstock.  
 — 30 desgleichen pag. 608, daher, Mundseite.  
 — 31 desgleichen pag. 609, daher, vergrösserter Apex.  
 — 32 desgleichen pag. 609, daher, Apex eingedrückt.  
 — 33 desgleichen pag. 609, daher, Vorderansicht.  
 — 34 Holaster cf. subglobosus pag. 609, Steinkern, St. Julien.  
 — K Umriss des grössten Ananchiten pag. 600, Feuersteinkern, Warnemünde.









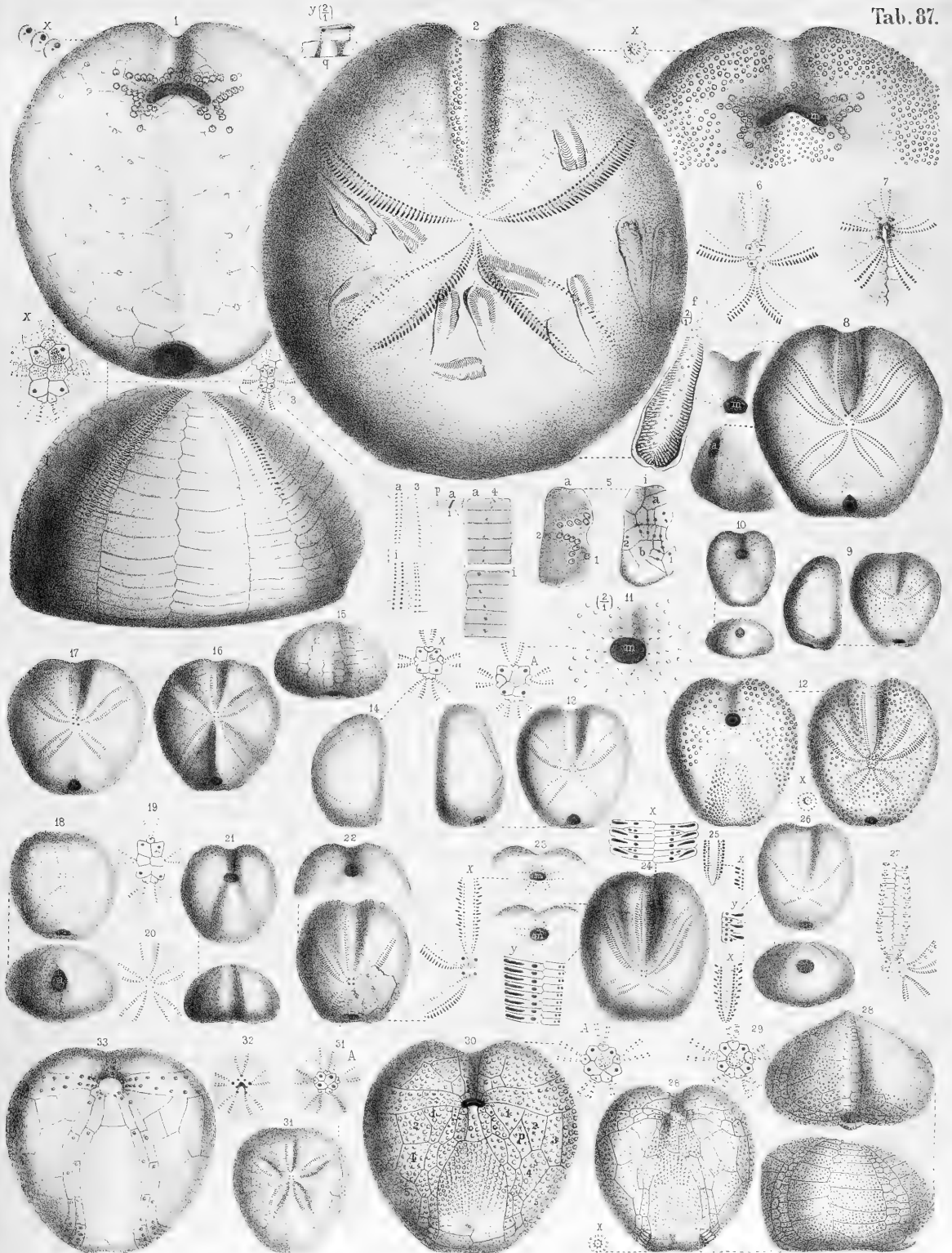


## Erklärung tab. 86.

- Fig. 1 Holaster carinatus pag. 609, Chloritische Kreide, Chardstock; *A* Apex.  
— 2 Spatangus cf. subglobosus pag. 610, Pläner, Oppeln, *U* Umriss der Höhe.  
— 3 Spatangus cf. subglobosus pag. 610, daher.  
— 4 Spatangus cf. planus pag. 611, daher.  
— 5 desgleichen pag. 611, daher, Apex.  
— 6 desgleichen pag. 612, Pläner.  
— 7 desgleichen pag. 612, Pläner, Oppeln.  
— 8 Spatangus cf. subglobosus pag. 613, Pläner, Suderode, *A* vergrößerter Apex.  
— 9 Holaster hercynius pag. 613, Pläner, Quedlinburg.  
— 10 Holaster angulatus pag. 613, Pläner, Suderode, Umriss.  
— 11 desgleichen pag. 614, daher, verdrückt.  
— 12 desgleichen pag. 614, daher, Seitenansicht.  
— 13 desgleichen pag. 614, daher, Apex.  
— 14 Infulaster Krausei pag. 614, Pläner, Halberstadt, nach einem Gypsmodell von vorn.  
— 15 Holaster cf. bicarinatus pag. 615, oberster Quader, Steinholz, Steinkern.  
— 16 Cardiaster bicarinatus pag. 615, Kreide, Aachen, *A* Apex vergrößert.  
— 17 Spatangus cf. laevis pag. 618, Kreide, Mecklenburg, eine Salenia daneben.  
— 18 desgleichen pag. 618, Kreidehornstein, Aachen.  
— 19 Spatangus cf. Ananchitis pag. 616, Kreidehornstein, Mecklenburg.  
— 20 Spatangus cf. angulatus pag. 617, Kreidefeuerstein, Lüneburg; *a* After.  
— 21 Holaster laevis pag. 618, Gault, Perte du Rhône, *x* Apex vergrößert.  
— 22 desgleichen pag. 619, daher, Ansicht von hinten.  
— 23 Holaster laevis pag. 620, Gault, Dent de Midi.  
— 24 Holaster laevis pag. 620, Gault, Dent de Midi: *x* vergrößerte Schalentextur; *y* Assel-  
schuppen.  
— 25 Holaster altus pag. 620, Cenoman, Säntis: *x* vergrößerte Textur verwitterter Schalen.  
— 26 Holaster Perezii pag. 621, Gault, Escragnolles.  
— 27 desgleichen pag. 621, daher, vergrößerter Apex.  
— 28 Holaster Cenomanensis pag. 621, Chloritische Kreide, Rouen, *x* Mundasseln vergrößert.  
— 29 desgleichen pag. 622, daher, *y* vergrößertes Porenpaar.  
— 30 desgleichen pag. 623, daher.  
— 31 desgleichen pag. 623, Chloritische Kreide, Chardstock.  
— 32 Holaster nasutus pag. 626, Scaglia, Chiampo.  
— 33 Disaster pillula pag. 624, Diphyenkalk, Roveredo.  
— 34 desgleichen pag. 625, daher.  
— 35 desgleichen pag. 625, daher, Seitenansicht: links Mund, rechts After.  
— 35. *A* desgleichen pag. 625, daher, Apex, worin die drei vordern Fühlergänge zusammentreten.  
— 36 Disaster caudatus pag. 624, Diphyenkalk, Roveredo.  
— 37 desgleichen pag. 624, daher.  
— 38 desgleichen pag. 624, daher, Umriss eines grossen Exemplars, bei *a* mit einem Stück  
Asseln in seiner natürlichen Lage.  
— 39 cf. Cardiaster Italicus pag. 625, Scaglia, Chiampo.

## Erklärung tab. 87.

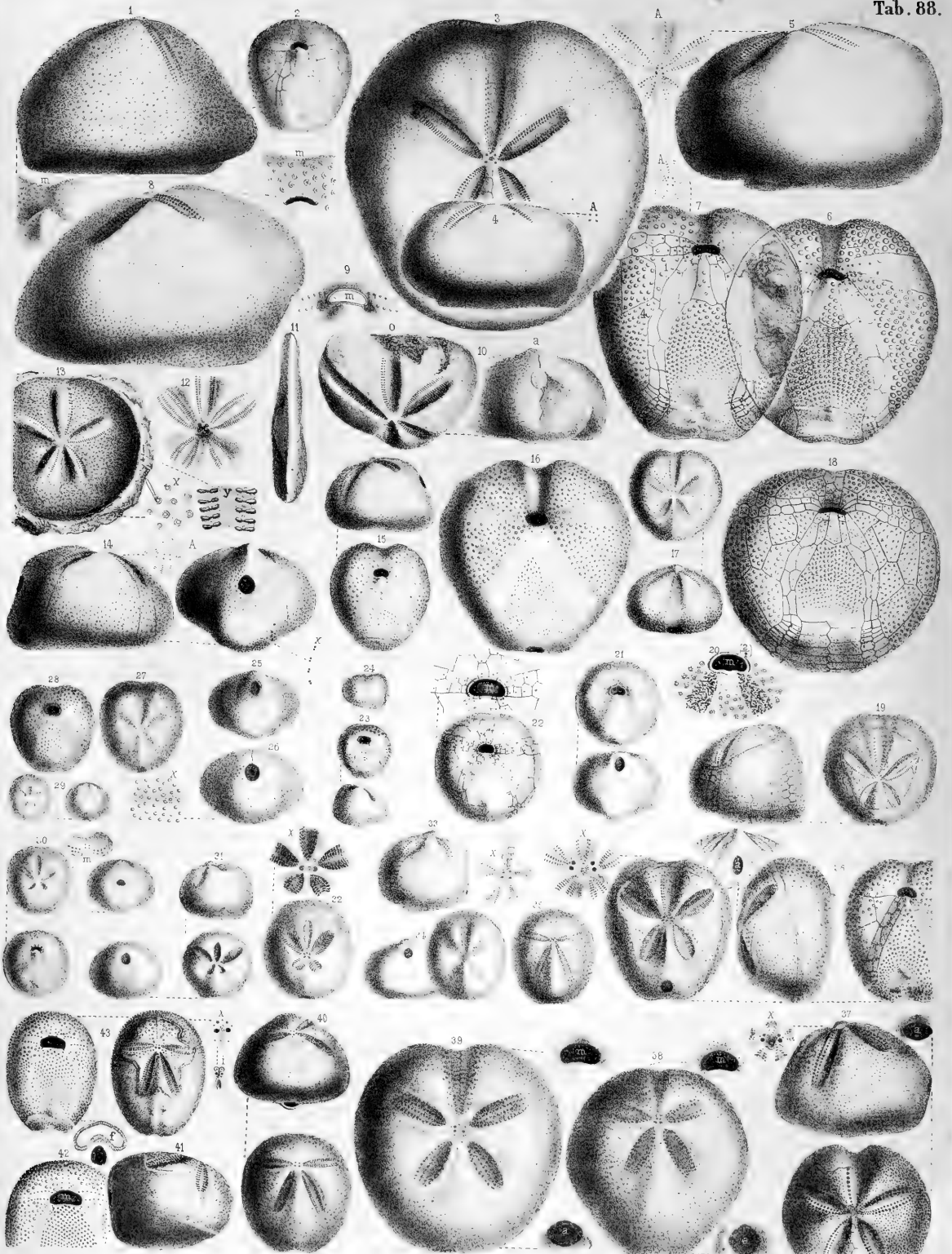
- Fig. 1 Spatangus (Hemipneustes) radiatus pag. 626, oberste Kreide, Maastricht: *x* vergrößertes Schlauchwürzchen.
- 2 desgleichen pag. 632, daher, mit *Foliopora radiata*, *f* zweifach vergrößert, *m* Mund, *x* vergrößertes Stachelwürzchen; *y* vergrößerte Fühlerporen mit Querschiff *q*.
- 3 desgleichen pag. 628, daher, Apex, *x* vergrößert; Schalenstück *a* Aussen-, *i* correspondirende Innenseite.
- 4 desgleichen pag. 628, daher, Schalenstücke; *a* aussen, *i* innen, *p* Querschnitt.
- 5 desgleichen pag. 629, daher, Mundstück: *i* innen durch den Spiegel, *a* aussen nicht durch den Spiegel; *m* Mundrand.
- 6 desgleichen pag. 630, daher, Apex.
- 7 desgleichen pag. 631, daher, Apex von Innen.
- 8 Toxaster cf. Verany pag. 637, verkieselt, Neocom, Savoyen: *m* Mund, *a* After.
- 9 Toxaster complanatus pag. 636, Neocom, Auxerre.
- 10 desgleichen pag. 636, daher, junges Exemplar.
- 11 desgleichen pag. 635, daher: *m* vergrößerter Mund, *A* Apex.
- 12 Toxaster complanatus pag. 634, Neocom, Neuchatel: *x* vergrößerte Stachelwarze.
- 13 desgleichen pag. 636, daher.
- 14 Toxaster complanatus altus pag. 636, Neocom, Provence, *x* vergrößerter Apex.
- 15 desgleichen pag. 637, daher, Stirnansicht.
- 16 Toxaster compl. florescens, pag. 637, daher.
- 17 Toxaster complanatus pag. 637, Unteres Hilsconglomerat, Berklingen.
- 18 Holaster l'Hardy pag. 638, Unteres Hilsconglomerat, Berklingen.
- 19 desgleichen pag. 639, daher, vergrößerter Apex.
- 20 Holaster cf. l'Hardy pag. 639, Neocom, Auxerre, Apex.
- 21 desgleichen pag. 639, daher, kleineres abgeriebenes Stück.
- 22 Spatangus (Heteraster) oblongus pag. 639, unter dem Gault, Perte du Rhône.
- 23 desgleichen pag. 640, daher, *x* vergrößerter Apex.
- 24 desgleichen pag. 640, schwarzer Schrättkalk (Aptien), Sântis: *x* vergrößertes Stück des vordern Fühlergangs, *y* des seitlichen.
- 25 desgleichen pag. 640, daher, vorderer Fühlergang.
- 26 Toxaster cf. oblongus pag. 641, Neocom, Provence: *x* vorderer Fühlergang vergrößert; *y* Stück desselben stark vergrößert.
- 27 Enallaster Greenovii pag. 641, Cenoman, vorderer Fühlergang, Copie.
- 28 Spatangus (Micraster) cor-anguinum pag. 644, Weisse Kreide, Lüneburg.
- 29 desgleichen pag. 642, daher, Apex vergrößert.
- 30 Spatangus cor-testudinarium pag. 646, Weisse Kreide, Villedieu.
- 31 desgleichen pag. 647, Pläner, Strehlen, *A* vergrößerter Apex.
- 32 Spatangus cor-anguinum pag. 648, Weisse Kreide, Satow, Apex von innen.
- 33 Spatangus cor-anguinum pag. 648, Kreide, Feuersteinkern, St. Julien du Sault.









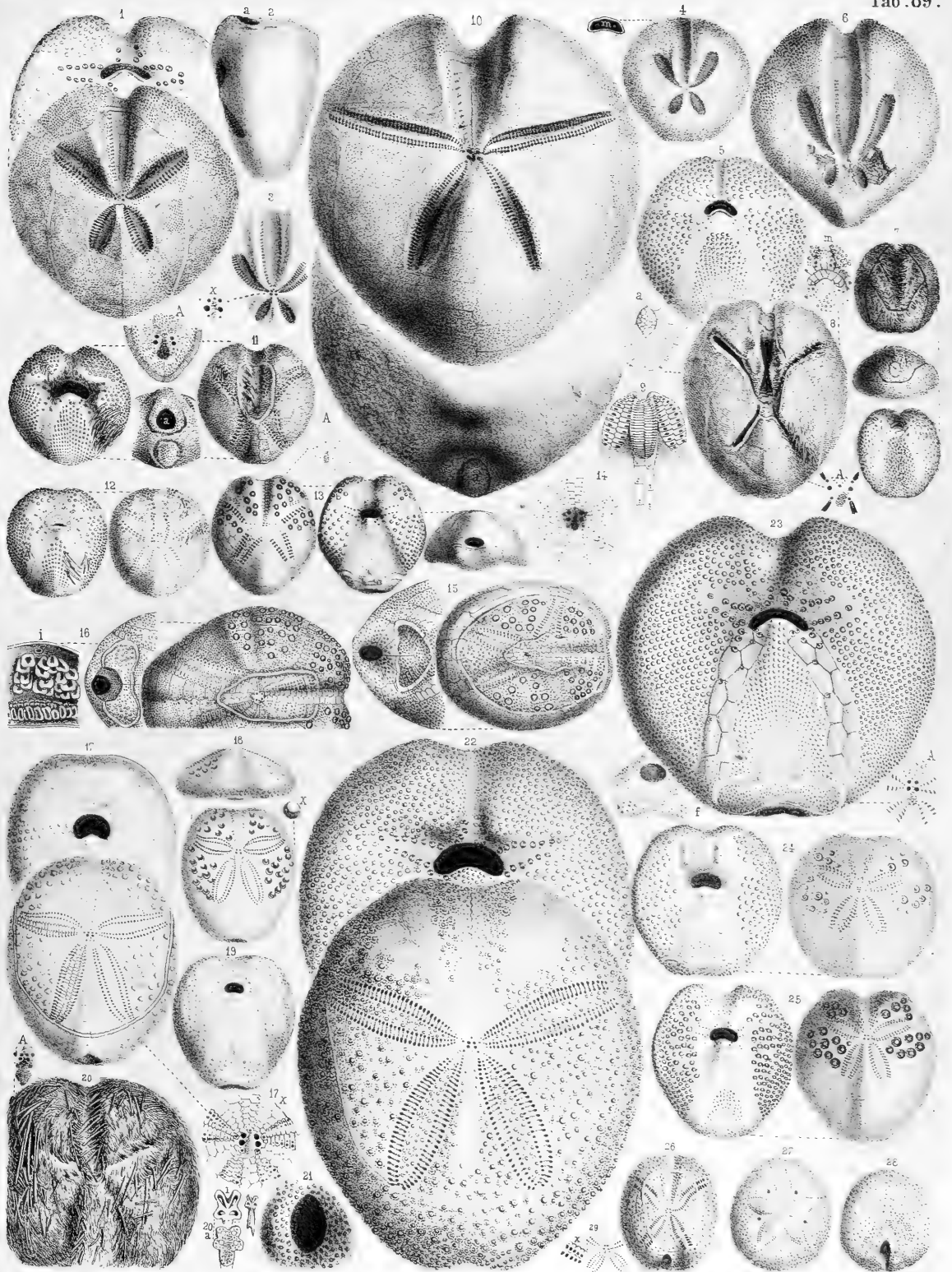


## Erklärung tab. 88.

- Fig. 1 *Micraster gibbus* pag. 648, polnische Weisse Kreide, Minoga.  
 — 2 *Micraster Leskii* pag. 649, Pläner, Oppeln.  
 — 3 *Micraster Leskii* pag. 650, Pläner, Suderode.  
 — 4 desgleichen pag. 650, Pläner, Oppeln, *A* Apex.  
 — 5 *Micr. Leskii quadratulus* pag. 650, Pläner, Suderode, *A* Apex.  
 — 6 *Micraster* cf. *Borchardi* pag. 651, Pläner, Suderode.  
 — 7 *Micraster Borchardi* pag. 651, Weisse Kreide, Staffin, *A* Apex.  
 — 8 *Spatangus lacunosus* pag. 652, Pläner, Quedlinburg, *m* Mund.  
 — 9 *Spatangus Bucardium* pag. 652, Kieselkern, Kreide, Aachen, *m* Mund.  
 — 10 *Micraster* cf. *sublacunosus* pag. 653, Plänersandstein, Schönhengst: *a* hinten, *o* oben.  
 — 11 desgleichen pag. 653, daher, deprimirt.  
 — 12 desgleichen pag. 653, daher, Apex mit Löchern.  
 — 13 desgleichen pag. 653, daher, Abdruck, *x* vergrößerte Würzchen, *y* vergrößerter vorderer Fühlergang.  
 — 14 *Spatangus acutus* pag. 654, Chloritische Kreide, Normandie, *A* Apex.  
 — 15 *Spatangus* cf. *acutus* pag. 654, Neocom, Escagnolles.  
 — 16 *Spatangus polygonus* pag. 654, unterer Gault, Perte du Rhône.  
 — 17 *Spatangus* cf. *coranguinum* pag. 655, Chloritische Kreide, Provence.  
 — 18 *Micraster brevis* pag. 655, Kreidetuff, Corbières.  
 — 19 *Hemiaster Bufo* pag. 656, Chloritische Kreide, Cap la Hève.  
 — 20 desgleichen pag. 657, Mund zweifach vergrößert, daher.  
 — 21 desgleichen pag. 656, daher, junges Exemplar.  
 — 22 desgleichen pag. 656, daher, Asseln, *m* vergrößerter Mund.  
 — 23 desgleichen pag. 657, Chloritische Kreide, Pyn.  
 — 24 *Spatangus minimus* pag. 659, Gault, Perte du Rhône.  
 — 25 desgleichen pag. 659, daher, von hinten.  
 — 26 desgleichen pag. 658, daher, *x* vergrößerte Schalenzeichnung.  
 — 27 *Hemiaster Phrynus* pag. 658, Gault, Perte du Rhône.  
 — 28 *Spatangus minimus* pag. 658, daher, Unterseite.  
 — 29 *Spatangus prunella* pag. 659, oberster Kreidesand, Maastricht.  
 — 30 desgleichen pag. 659, daher, *m* vorderer Mundrand von innen.  
 — 31 *Hemiaster verticalis* pag. 660, Eocen, Priabona.  
 — 32 *Spatangus Hehlii* pag. 661, blaufarbig, *x* vergrößerter Apex.  
 — 33 *Spatangus* pag. 661, vom Mokattam, alttertiär.  
 — 34 *Sp. oblongus Italicus* pag. 661, Nummulithenkalk, Montecchio maggiore.  
 — 35 *Sp. oblongus Germanicus* pag. 661, Nummulithenkalk, Salzburg.  
 — 36 *Periaster Fourneli* pag. 662, Hippuritenkreide, Batna, *x* vergrößerter Apex.  
 — 37 *Micraster Chaumontianus* pag. 664, Nummulithenkalk, Kresseberg, *x* vergrößerter Apex, *a* After.  
 — 38 *Micraster brevis* pag. 664, daher, *a* After, *m* Mund.  
 — 39 *Spatangus suborbicularis* pag. 663, Nummulithenkalk, Brendola, *m* Mund, *a* After.  
 — 40 *Periaster Salisburgensis* pag. 667, Eocen, Salzburg, cf. *Prenaster alpinus* fig 41.  
 — 41 *Prenaster alpinus* pag. 669, Nummulithenkalk, Copie.  
 — 42 *Brissus columbaris* pag. 667, lebend, Antillen, Mundstück.  
 — 43 desgleichen pag. 667, daher, kleines Exemplar, *x* vergrößerter Apex, *i* von innen, *f* subanale Fasciole.

## Erklärung tab. 89.

- Fig. 1 Schizaster fasciolatus pag. 670, Aachen?, Kreide.  
— 2 Schizaster cf. Studeri pag. 671, Nummulithenkalk, Verona, Seitenansicht.  
— 3 desgleichen pag. 671, daher, Apex, *x* vergrößert.  
— 4 desgleichen pag. 672, Eocen, Oberweis, *m* Mund.  
— 5 desgleichen pag. 672, Nummulithenkalk, Montecchio maggiore, Mundseite.  
— 6 Schizaster eurynotus pag. 672, Tertiär, Santa Manza.  
— 7 Schizaster fragilis pag. 673, lebt an der Norwegischen Küste.  
— 8 Schizaster atropos pag. 673, lebt bei Texas: *a* After, *m* Mund.  
— 9 desgleichen pag. 673, daher, die drei vordern Fühlergänge von innen.  
— 10 Linthia insignis pag. 678, Eocen, Southofen, *a* After.  
— 11 Amphidetus cordatus pag. 674, lebt in der Nordsee: *A* vergrößerter Apex, *a* After.  
— 12 Amphidetus ovatus pag. 676, lebt bei Norwegen.  
— 13 Hemipatagus Forbesi pag. 676, Australien.  
— 14 desgleichen pag. 677, daher, vergrößerter Gipfel.  
— 15 Spatangus (Brennia) Crux-Andrae pag. 677, lebt im Südmeer, Copie.  
— 16 Lovenia hystrix pag. 677, lebt im Rothen Meere, Copie; *i* innere Blasen.  
— 17 Eupatagus Scillae pag. 681, Tertiär, Oberitalien, *x* vergrößerter Apex.  
— 18 desgleichen pag. 681, Tertiär, *x* vergrößerte Warze.  
— 19 Maretia cocca pag. 682, Eocen, Oberweis.  
— 20 Spatangus purpureus pag. 684, lebt in der Nordsee: *i* Apex innen, *a* aussen.  
— 21 Macropneustes cf. Meneghini pag. 680, Nummulithenkalk, Kressenberg, After.  
— 22 Macropneustes Meneghini pag. 679, Oligocen, Monte Spiado.  
— 23 Spatangus Desmarestii pag. 682, jungtertiär, Doberg, *A* vergrößerter Apex.  
— 24 desgleichen pag. 683, daher, jung.  
— 25 Spatangus Hoffmanni pag. 683, daher.  
— 26 Gualteria Orbignyana pag. 668, Nummulithenkalk, Royan, Copie.  
— 27 Peronella Peronii pag. 697, Copie.  
— 28 Nucleolites recens pag. 696, Copie nach L. Agassiz.  
— 29 Agassizia scrobiculata pag. 668, lebt bei La Paz.











ERNST MAYR LIBRARY



3 2044 110 523 292

